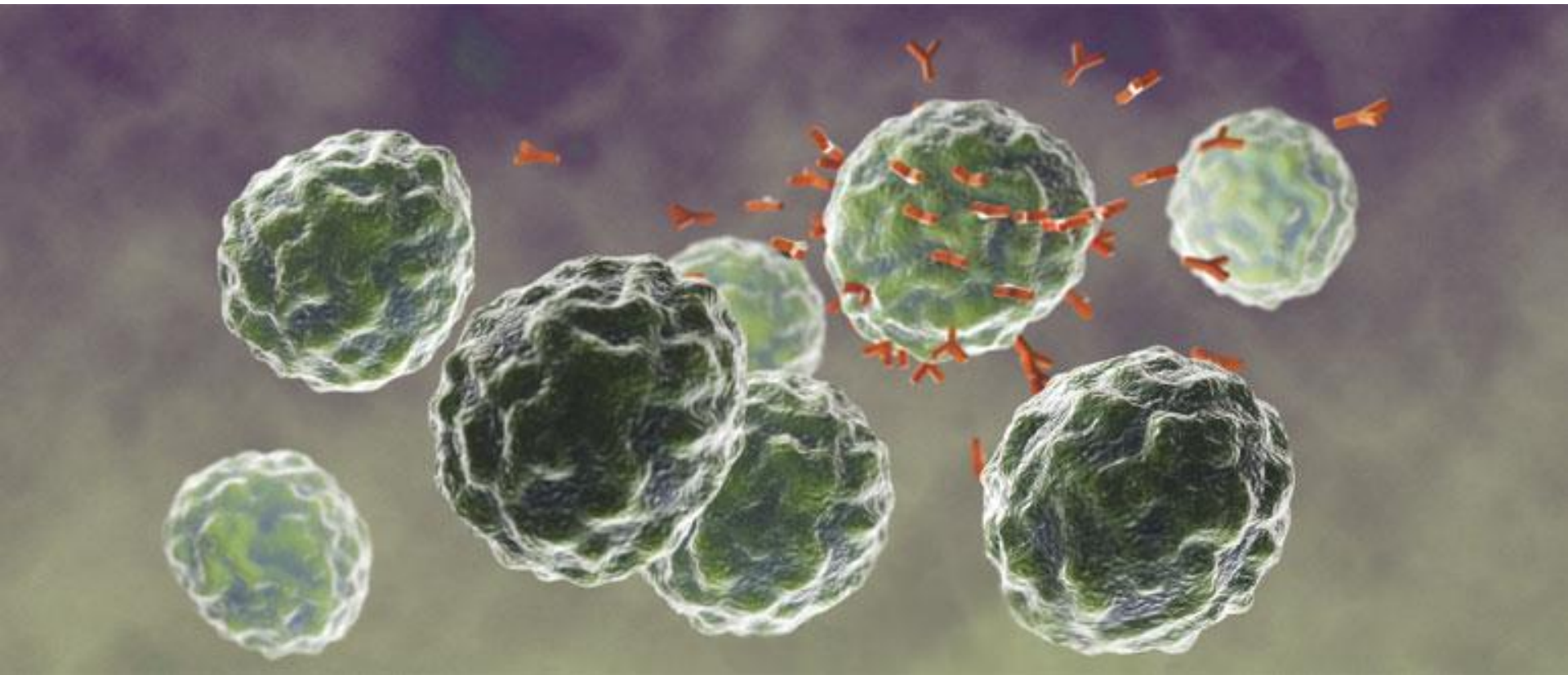


## Mature B-cel neoplasmata





Leukemia

[www.nature.com/leu](https://www.nature.com/leu)

REVIEW ARTICLE

OPEN



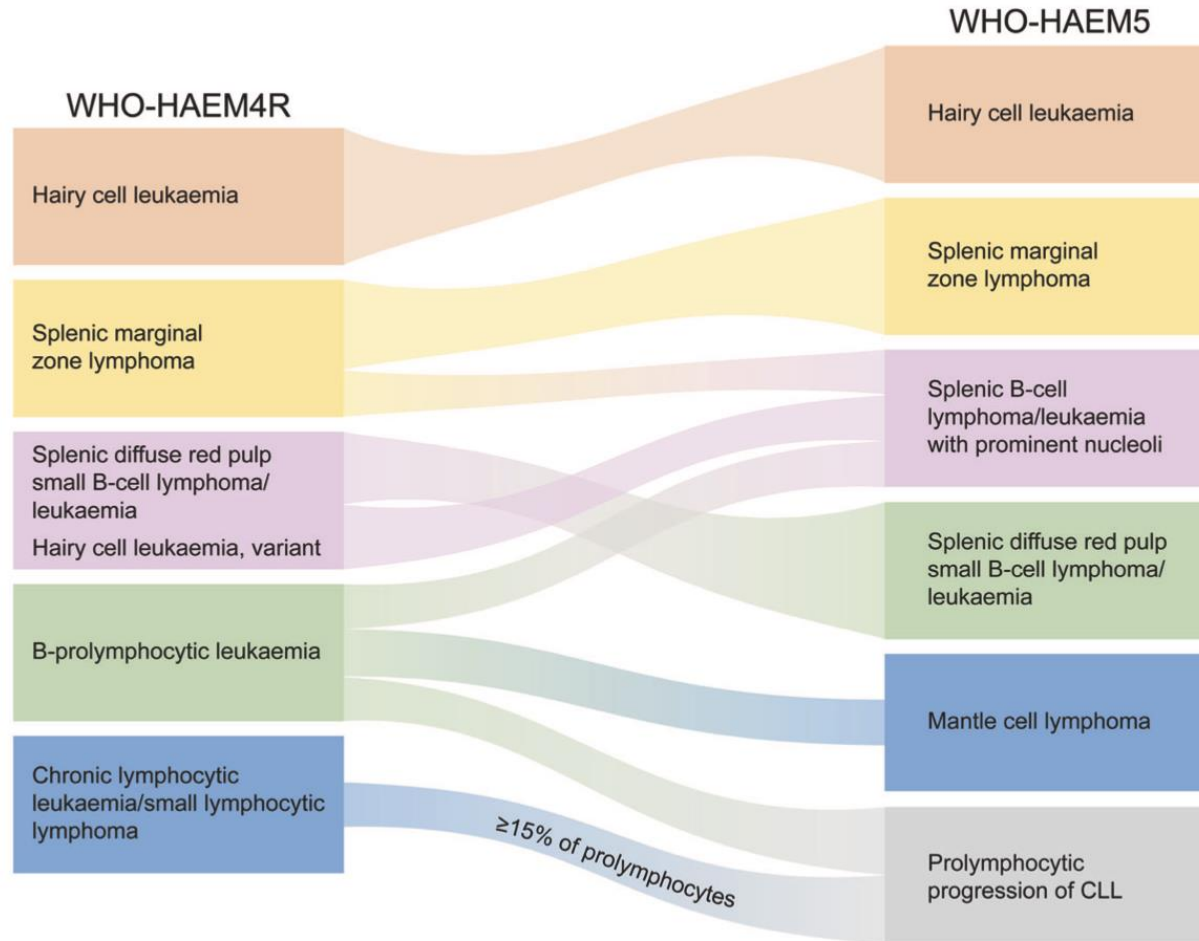
LYMPHOMA

## The 5th edition of the World Health Organization Classification of Haematolymphoid Tumours: Lymphoid Neoplasms

Rita Alaggio<sup>1</sup>, Catalina Amador<sup>2</sup>, Ioannis Anagnostopoulos<sup>3</sup>, Ayoma D. Attygalle<sup>4</sup>, Iguaracyra Barreto de Oliveira Araujo<sup>5</sup>, Emilio Berti<sup>6</sup>, Govind Bhagat<sup>7</sup>, Anita Maria Borges<sup>8</sup>, Daniel Boyer<sup>9</sup>, Mariarita Calaminici<sup>10</sup>, Amy Chadburn<sup>11</sup>, John K. C. Chan<sup>12</sup>, Wah Cheuk<sup>12</sup>, Wee-Joo Chng<sup>13</sup>, John K. Choi<sup>14</sup>, Shih-Sung Chuang<sup>15</sup>, Sarah E. Coupland<sup>16</sup>, Magdalena Czader<sup>17</sup>, Sandeep S. Dave<sup>18</sup>, Daphne de Jong<sup>19</sup>, Ming-Qing Du<sup>20</sup>, Kojo S. Elenitoba-Johnson<sup>21</sup>, Judith Ferry<sup>22</sup>, Julia Geyer<sup>11</sup>, Dita Gratzinger<sup>23</sup>, Joan Guitart<sup>24</sup>, Sumeet Gujral<sup>25</sup>, Marian Harris<sup>26</sup>, Christine J. Harrison<sup>27</sup>, Sylvia Hartmann<sup>28</sup>, Andreas Hochhaus<sup>29</sup>, Patty M. Jansen<sup>30</sup>, Kennosuke Karube<sup>31</sup>, Werner Kempf<sup>32</sup>, Joseph Khoury<sup>33</sup>, Hiroshi Kimura<sup>34</sup>, Wolfram Klapper<sup>35</sup>, Alexandra E. Kovach<sup>36</sup>, Shaji Kumar<sup>37</sup>, Alexander J. Lazar<sup>38</sup>, Stefano Lazzi<sup>39</sup>, Lorenzo Leoncini<sup>39</sup>, Nelson Leung<sup>40</sup>, Vasiliki Leventaki<sup>41</sup>, Xiao-Qiu Li<sup>42</sup>, Megan S. Lim<sup>21</sup>, Wei-Ping Liu<sup>43</sup>, Abner Louissaint Jr.<sup>22</sup>, Andrea Marcogliese<sup>44</sup>, L. Jeffrey Medeiros<sup>33</sup>, Michael Michal<sup>45</sup>, Roberto N. Miranda<sup>33</sup>, Christina Mitteldorf<sup>46</sup>, Santiago Montes-Moreno<sup>47</sup>, William Morice<sup>48</sup>, Valentina Nardi<sup>22</sup>, Kikkeri N. Naresh<sup>49</sup>, Yasodha Natkunam<sup>23</sup>, Siok-Bian Ng<sup>50</sup>, Ilske Oschlies<sup>35</sup>, German Ott<sup>51</sup>, Marie Parrens<sup>52</sup>, Melissa Pulitzer<sup>53</sup>, S. Vincent Rajkumar<sup>54</sup>, Andrew C. Rawstron<sup>55</sup>, Karen Rech<sup>48</sup>, Andreas Rosenwald<sup>3</sup>, Jonathan Said<sup>56</sup>, Clémentine Sarkozy<sup>57</sup>, Shahin Sayed<sup>58</sup>, Caner Saygin<sup>59</sup>, Anna Schuh<sup>60</sup>, William Sewell<sup>61</sup>, Reiner Siebert<sup>62</sup>, Aliyah R. Sohani<sup>22</sup>, Reuben Tooze<sup>63</sup>, Alexandra Traverse-Glehen<sup>64</sup>, Francisco Vega<sup>33</sup>, Beatrice Vergier<sup>65</sup>, Ashutosh D. Wechalekar<sup>66</sup>, Brent Wood<sup>36</sup>, Luc Xerri<sup>67</sup> and Wenbin Xiao<sup>53</sup>

© The Author(s) 2022

# Mature B-cell neoplasms (WHO 5)





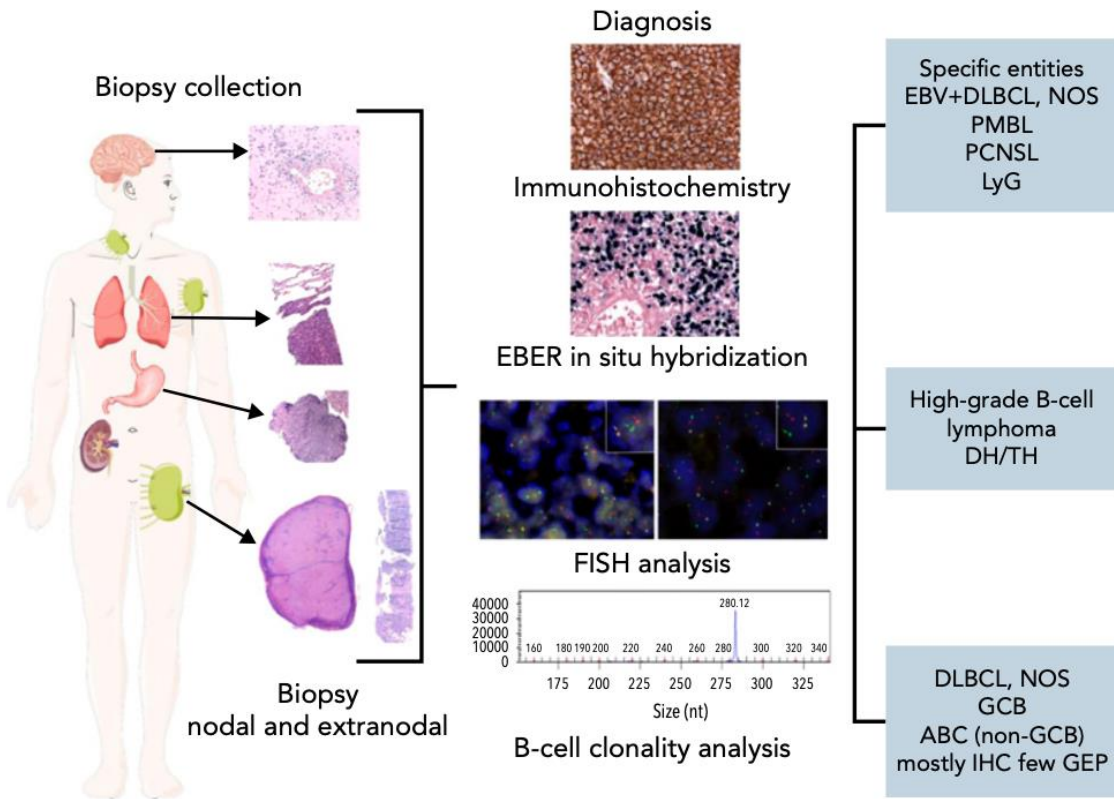
## The International Consensus Classification of Mature Lymphoid Neoplasms: a report from the Clinical Advisory Committee

Elias Campo,<sup>1</sup> Elaine S. Jaffe,<sup>2</sup> James R. Cook,<sup>3</sup> Leticia Quintanilla-Martinez,<sup>4</sup> Steven H. Swerdlow,<sup>5</sup> Kenneth C. Anderson,<sup>6</sup> Pierre Brousset,<sup>7</sup> Lorenzo Cerroni,<sup>8</sup> Laurence de Leval,<sup>9</sup> Stefan Dirnhofer,<sup>10</sup> Ahmet Dogan,<sup>11</sup> Andrew L. Feldman,<sup>12</sup> Falko Fend,<sup>4</sup> Jonathan W. Friedberg,<sup>13</sup> Philippe Gaulard,<sup>14,15</sup> Paolo Ghia,<sup>16</sup> Steven M. Horwitz,<sup>17</sup> Rebecca L. King,<sup>12</sup> Gilles Salles,<sup>17</sup> Jesus San-Miguel,<sup>18</sup> John F. Seymour,<sup>19</sup> Steven P. Treon,<sup>6</sup> Julie M. Vose,<sup>20</sup> Emanuele Zucca,<sup>21</sup> Ranjana Advani,<sup>22</sup> Stephen Ansell,<sup>23</sup> Wing-Yan Au,<sup>24</sup> Carlos Barrionuevo,<sup>25</sup> Leif Bergsagel,<sup>26</sup> Wing C. Chan,<sup>27</sup> Jeffrey I. Cohen,<sup>28</sup> Francesco d'Amore,<sup>29</sup> Andrew Davies,<sup>30</sup> Brunangelo Falini,<sup>31</sup> Irene M. Ghobrial,<sup>6,32</sup> John R. Goodlad,<sup>33</sup> John G. Gribben,<sup>34</sup> Eric D. Hsi,<sup>35</sup> Brad S. Kahl,<sup>36</sup> Won-Seog Kim,<sup>37</sup> Shaji Kumar,<sup>23</sup> Ann S. LaCasce,<sup>6</sup> Camille Laurent,<sup>7</sup> Georg Lenz,<sup>38</sup> John P. Leonard,<sup>39</sup> Michael P. Link,<sup>40</sup> Armando Lopez-Guillermo,<sup>41</sup> Maria Victoria Mateos,<sup>42</sup> Elizabeth Macintyre,<sup>43</sup> Ari M. Melnick,<sup>44</sup> Franck Morschhauser,<sup>45</sup> Shigeo Nakamura,<sup>46</sup> Marina Narbaitz,<sup>47</sup> Astrid Pavlovsky,<sup>48</sup> Stefano A. Pileri,<sup>49</sup> Miguel Piris,<sup>50</sup> Barbara Pro,<sup>51</sup> Vincent Rajkumar,<sup>12</sup> Steven T. Rosen,<sup>52</sup> Birgitta Sander,<sup>53</sup> Laurie Sehn,<sup>54</sup> Margaret A. Shipp,<sup>6</sup> Sonali M. Smith,<sup>55</sup> Louis M. Staudt,<sup>56</sup> Catherine Thieblemont,<sup>57,58</sup> Thomas Tousseyn,<sup>59</sup> Wyndham H. Wilson,<sup>56</sup> Tadashi Yoshino,<sup>60</sup> Pier-Luigi Zinzani,<sup>61</sup> Martin Dreyling,<sup>62</sup> David W. Scott,<sup>54</sup> Jane N. Winter,<sup>63</sup> and Andrew D. Zelenetz<sup>17,64</sup>

# Advanced diagnostics



umcg

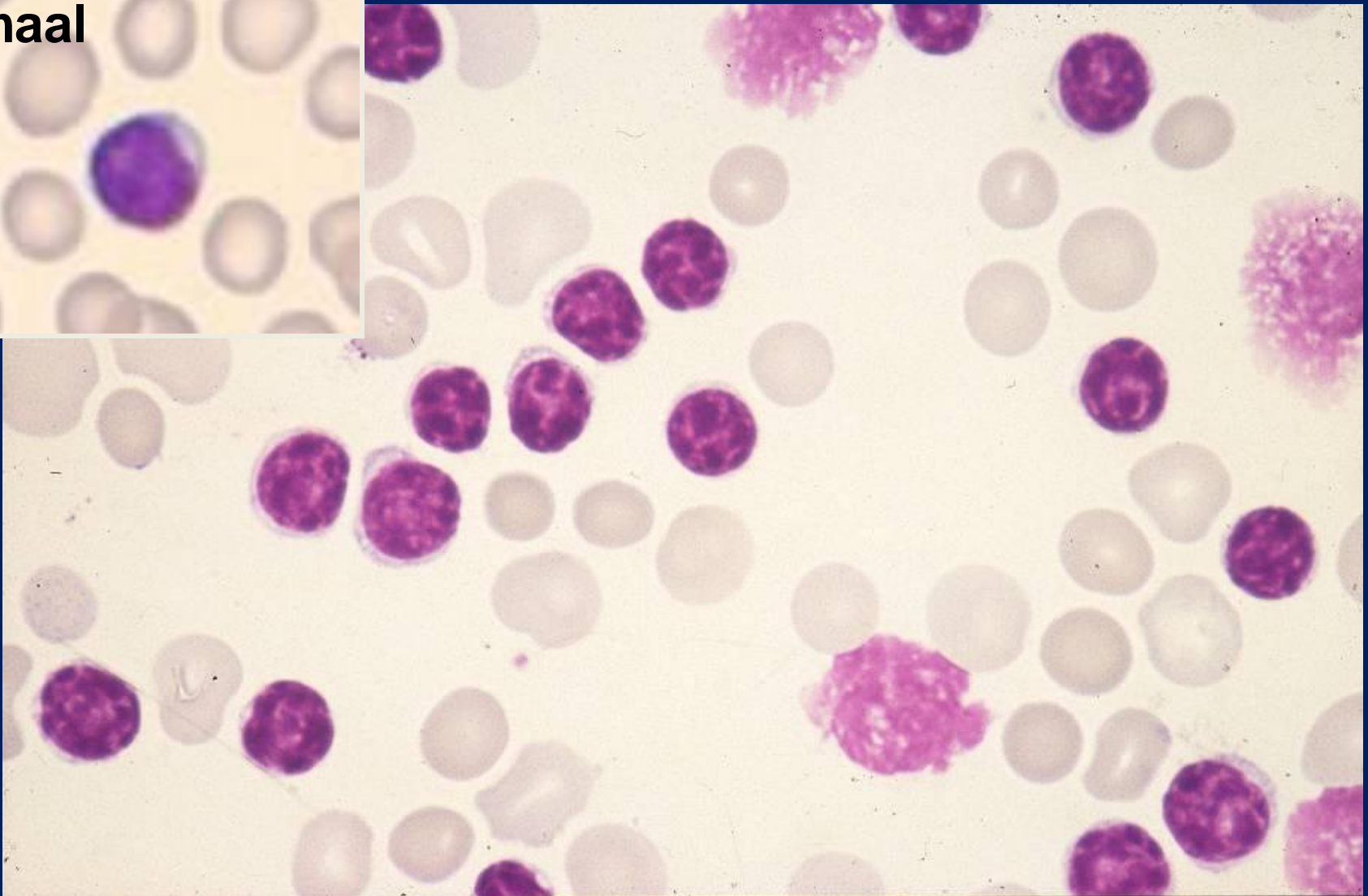


??



umcg

normaal



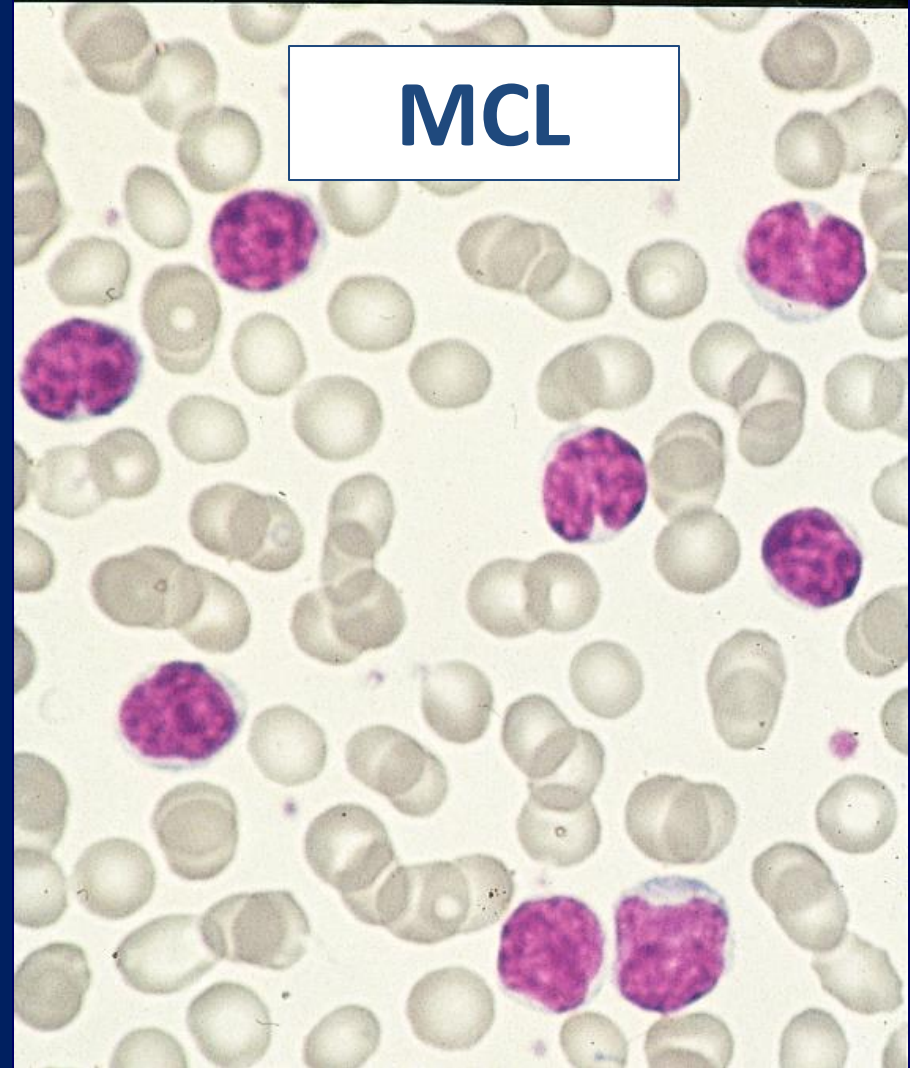
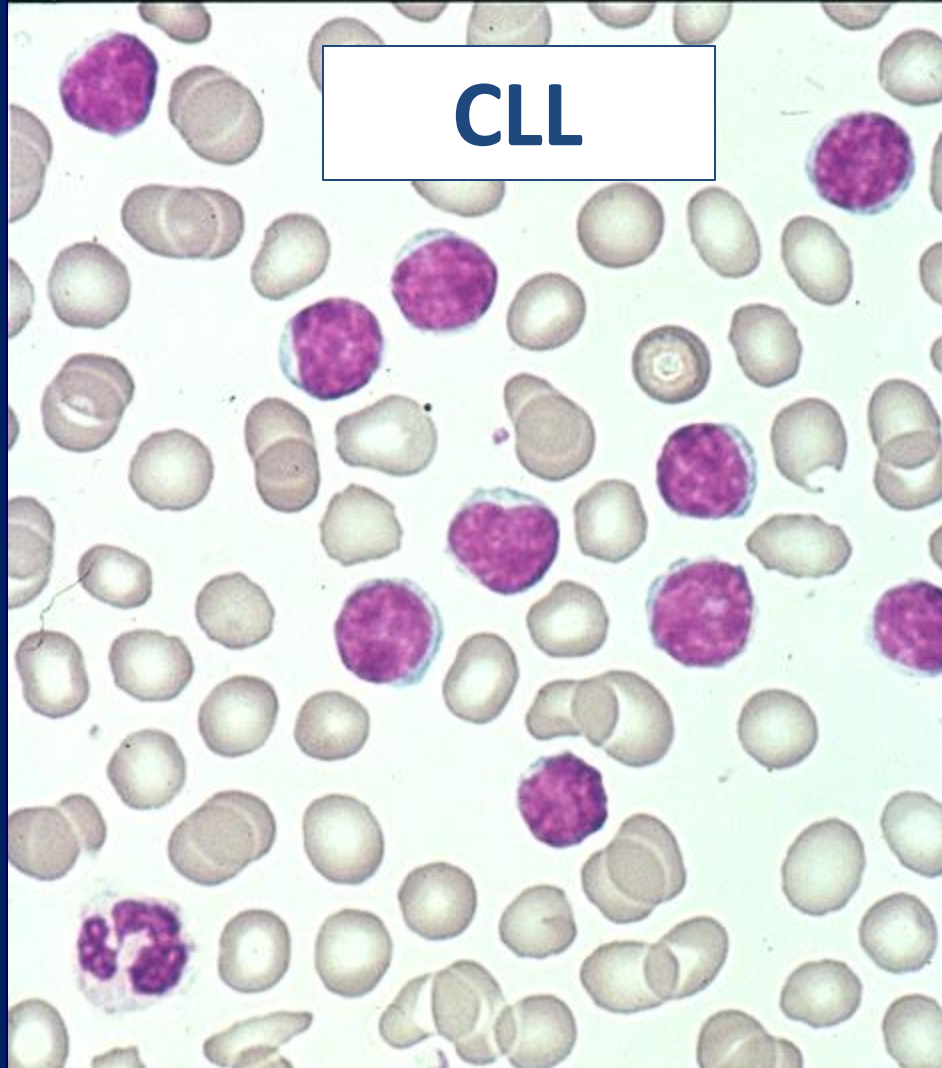
# CLL vs MCL



umcg

**CLL**

**MCL**



# Chronische lymfatische leukemie (CLL) / Kleincellig lymfocytair lymfoom (SLL)



umcg

## Bloed

Leukocyten hoog aantal met monotone lymfocytose

Monoklonale B-lymfocyten  $>5 \times 10^9/l$

kleine cellen (6-10  $\mu\text{m}$ ), smalle cytoplasmazoom, zeer grof chromatine, kapotte cellen (Schollen, smudge cells)

## Beenmerg cytologie

Vergelijkbare morfologie

## Immunofenotype

CD19, zwak CD20, zwak smlg, **CD5**, CD23 (sterk)

## Mutaties

*TP53, NOTCH1, SF3B1, ATM, BIRC3*





## Bloed

vaak leukocytose met monotone kleine tot middelgrote lymfocyten, smalle cytoplasmazoom, fijn tot grof chromatine, kern vaak een klief, soms ook blastair!

## Beenmerg cytologie

hetzelfde als het bloed, vaak sterk geïnfilteerd

## Immunofenotype

CD19, CD20, sterk smlg (alleen slgM/IgD), **CD5**, *geen* CD23, cycline D1

## 2 subtypen

- Klassiek (LNN): ongemuteerd IGHV, SOX11+
- *Leukemic non-nodal* (PB, BM, milt): gemuteerd IGHV, SOX11-

# CLL vs MCL



Markers	chronische B-cel leukemieën				leukemisch B-NHL		
	B-CLL	B-PLL	HCL	HCLv	SLVL	MCL	FCL
Smlg-expressie	++ <sup>w</sup>	++ <sup>s</sup>	++	++	++	++	++
Cylg-expressie	±	±	-	-	±	-	-
IgH-isotype	μ,μδ,δ	μ,μδ	μ,μδ,γ,α	γ	μ,μδ,γ	μ,μδ <sup>w</sup>	μ,μδ,γ
CD19	++	++	++	++	++	++	++
CD20	++ <sup>w</sup>	++	++ <sup>s</sup>	++	++	++ <sup>s</sup>	++
CD21	+	±	±	—	±	±	±
CD22	+ <sup>w</sup>	++ <sup>s</sup>	++ <sup>s</sup>	++	++ <sup>s</sup>	+	++
<b>CD23</b>	<u>++</u>	—	—	±	±	—	±
(CD24)	++	++	± <sup>p</sup>	—	++	<u>++</u>	++
cyCD79	++	++	++	++	++	++	++
<b>CD5</b>	<u>++</u>	±	—	—	±	<u>++</u>	±
CD10	—	±	±	—	±	—	+ <sup>w</sup>
CD11c	+	—	++	+	+	—	—
CD25	±	—	++	—	±	—	—
CD103	—	—	++	+	±	—	—
(FMC7)	±	++ <sup>s</sup>	++	++	++	+	++
CD138	-	-	-	-	-	-	-



Karakteristiek monotone lymfatische cellen immunofenotype:

pan-B cel

CD5-positief



***Klassieke CLL***

***Mantelcel NHL***

CD23 **positief**  
**zwak** slg (IgM/IgD)  
overleving vele  
(tientallen) jaren

CD23 **negatief**  
**sterk** slg (IgM/IgD)  
overleving mediaan  
circa 5-7 jaar



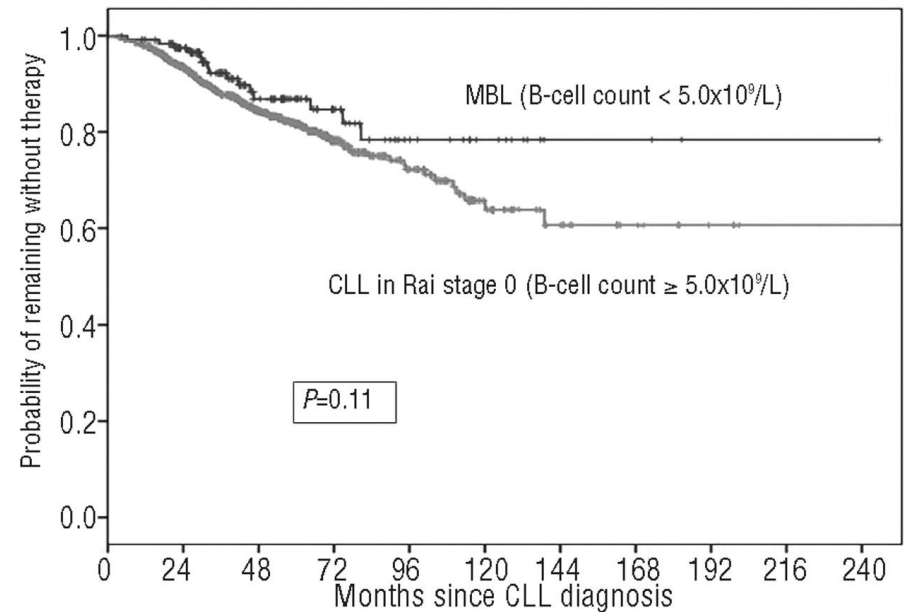
**CLL** vereist  $> 5 \times 10^9/l$  CD5<sup>+</sup> monoclonale B cellen

Als dit er minder zijn:

- leukemisch lymfocytair lymfoom (SLL)
- Monoclonale B cel Lymfocytose (MBL)

**MBL** = “MGUS van de CLL”

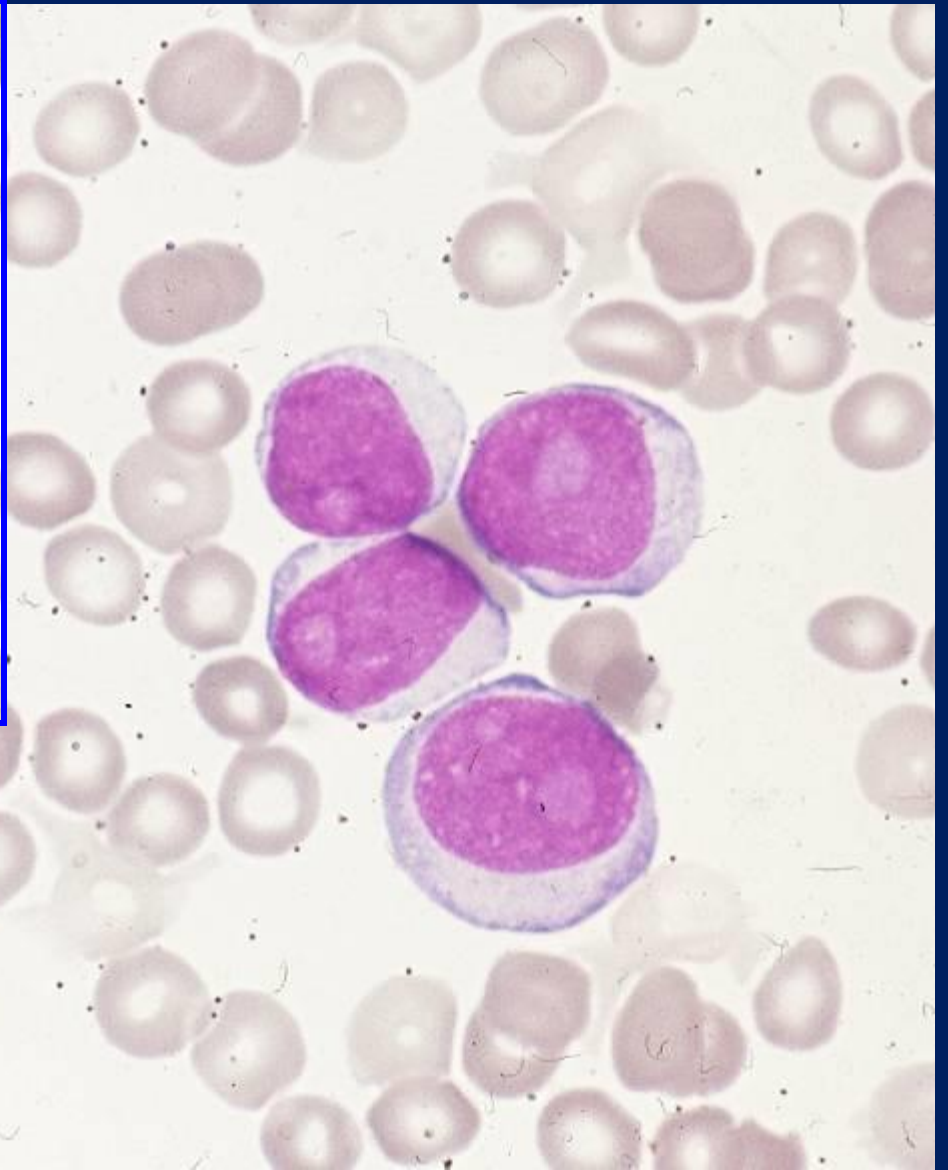
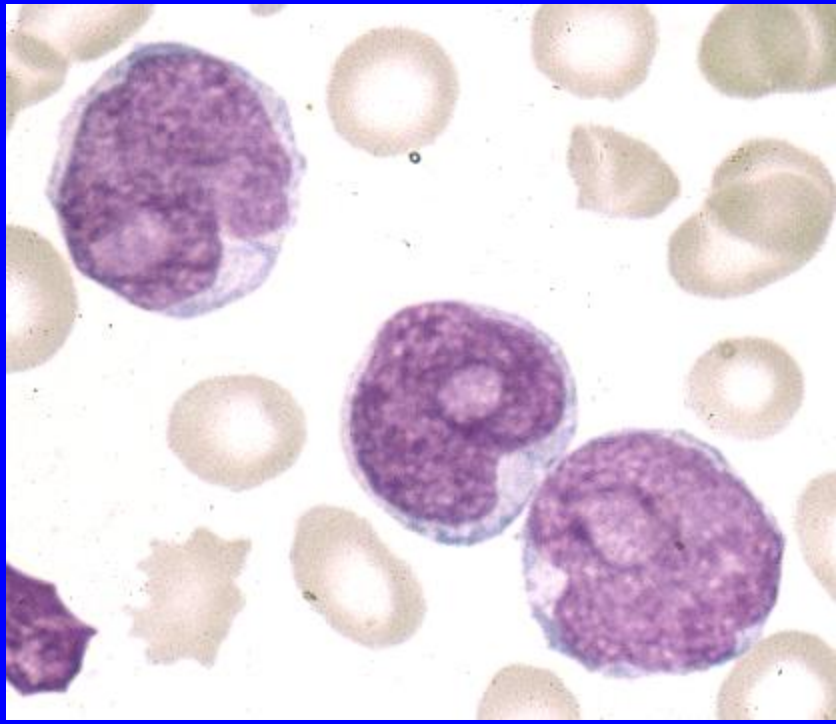
- ‘low-count’  $< 0.5 \times 10^9/l$
- ‘high-count’  $0.5-5 \times 10^9/l$



??



umcg





## **Bloed**

Leukocyten hoog met >55% prolymfocyten

Aspect: grote cellen, ruim cytoplasma, ronde centrale celkern, prominente nucleolus.

## **Beenmerg cytologie**

Idem als bloed, vaak sterke infiltratie

## **Immunofenotype**

80% pan B: CD19, CD20, sterke smlg

## **DD**

CLL in transformatie

Milt B-cel lymfoom/leukemie met prominente nucleoli  
leukemisch mantelcel lymfoom (met t[11;14])

# CLL vs CLL-PL vs PLL

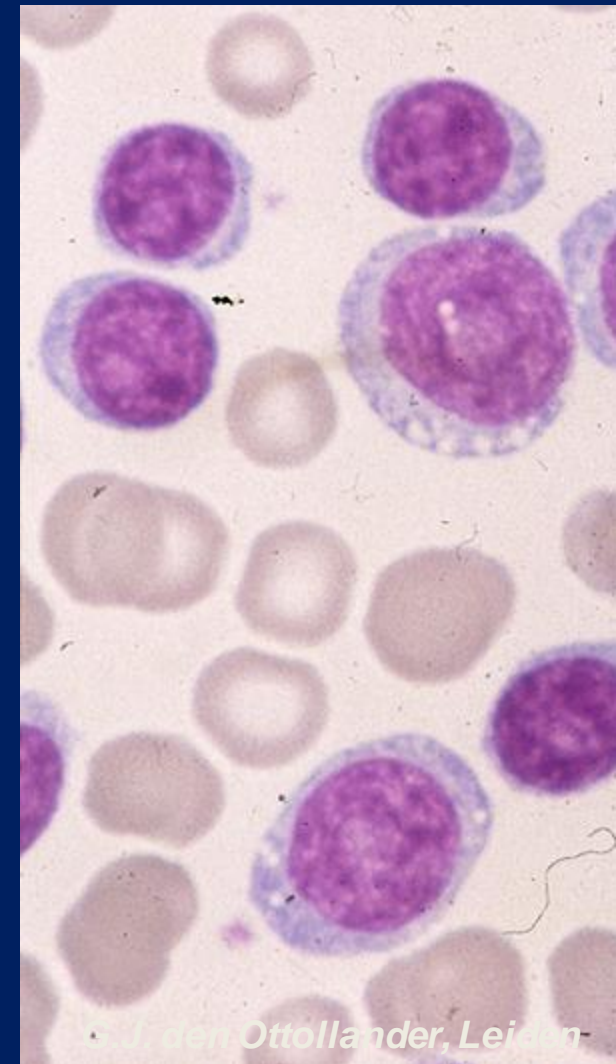
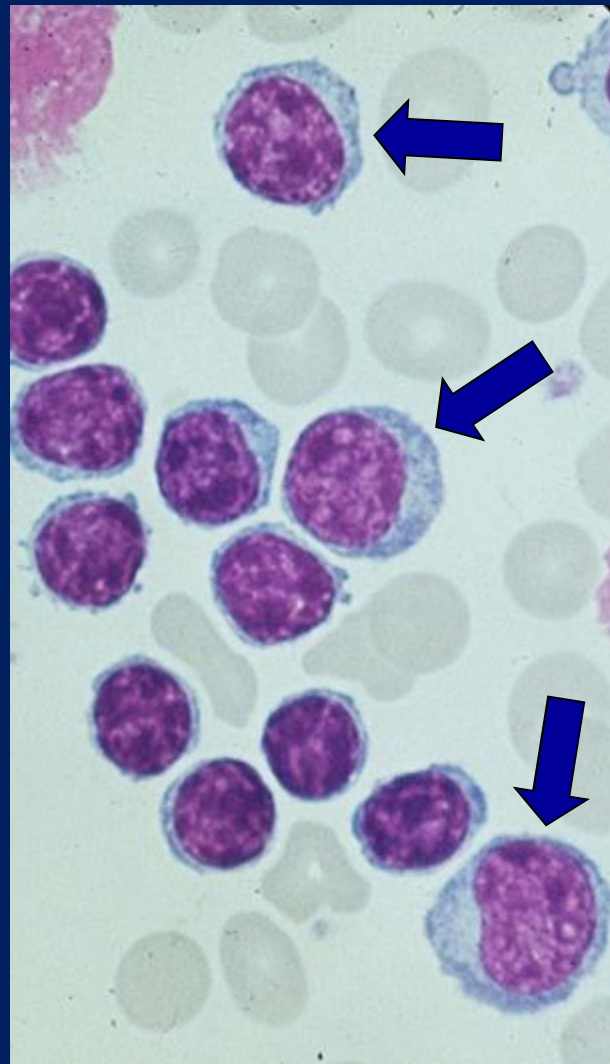
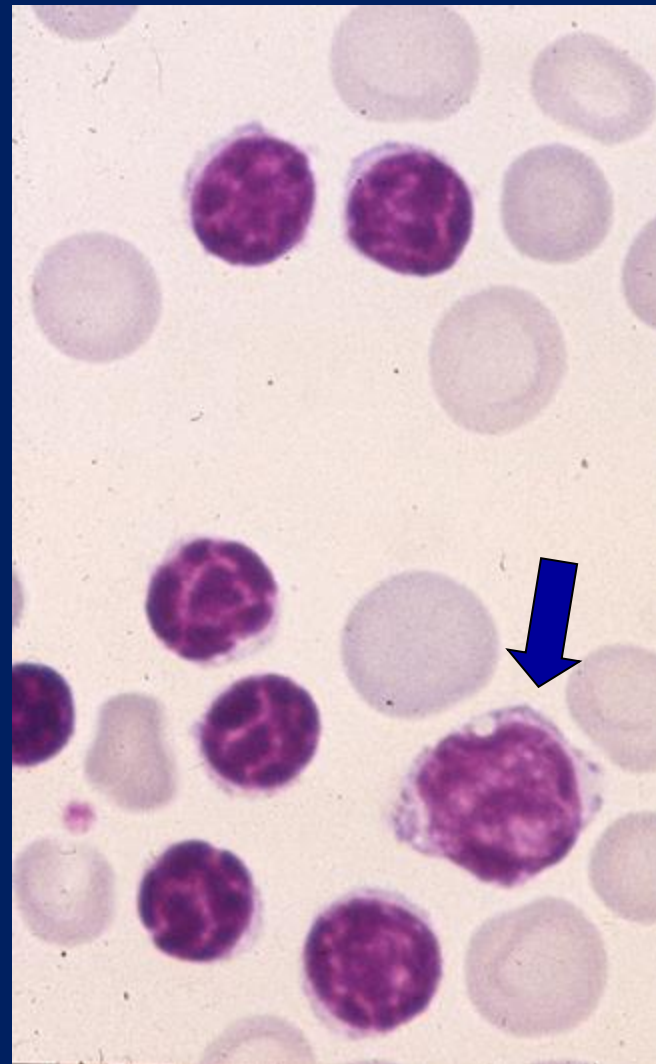


umcg

<10%

10-55%

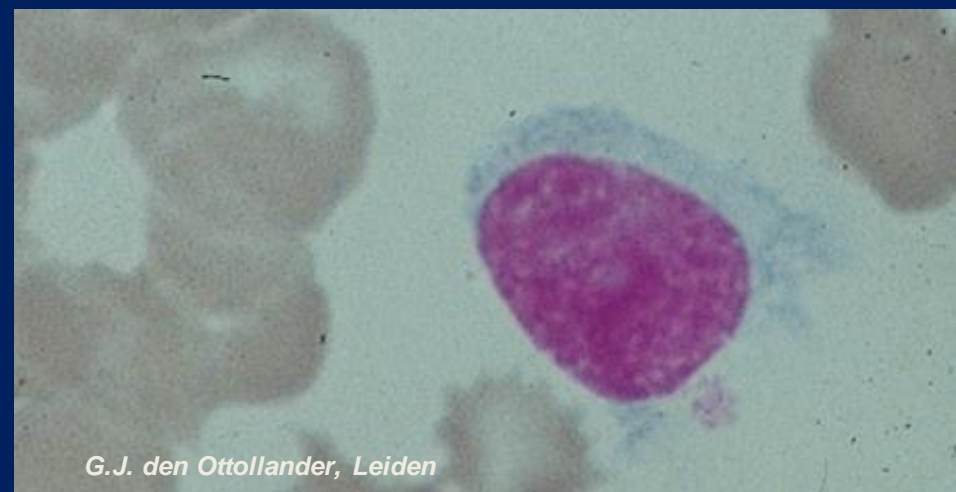
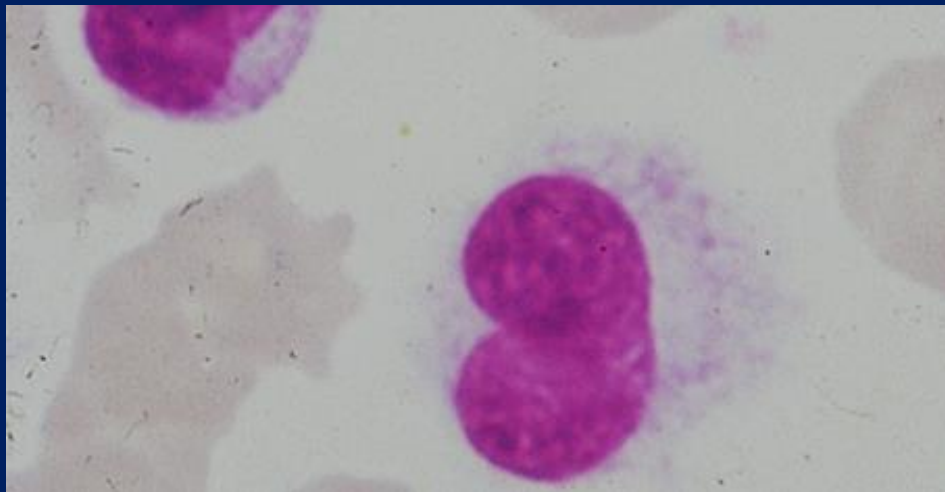
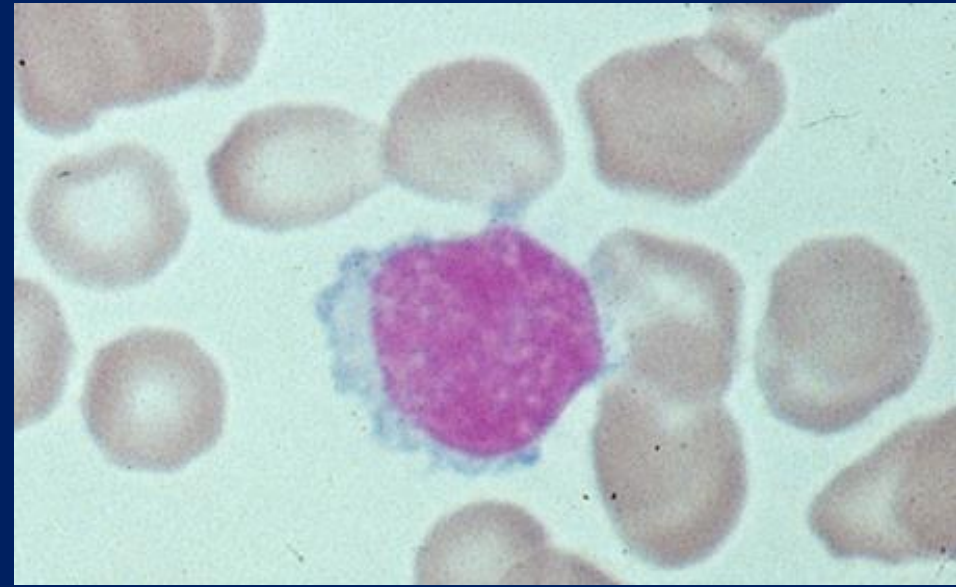
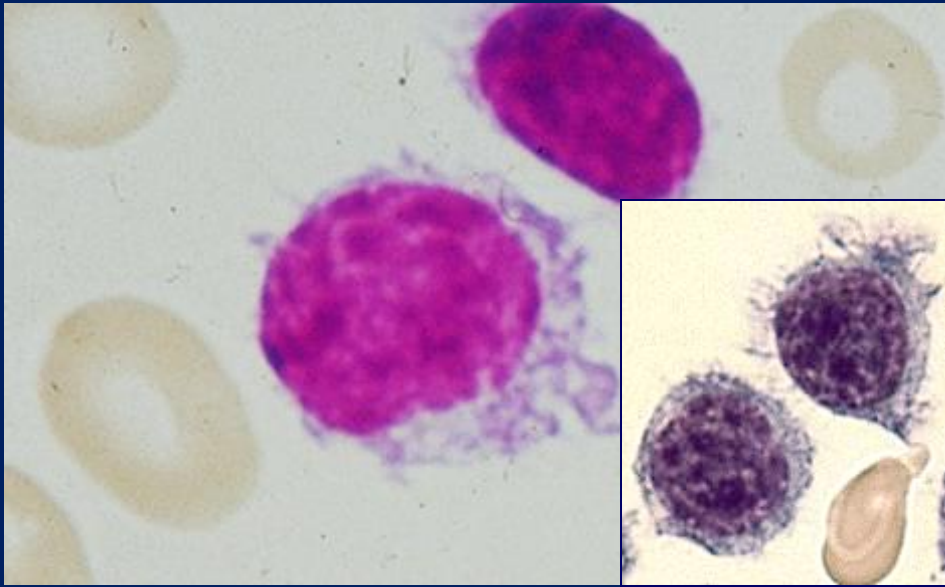
>55%



# Morfologische uitdaging: differentiatie van HCL, HCL variant, LPL, SMZL



umcg

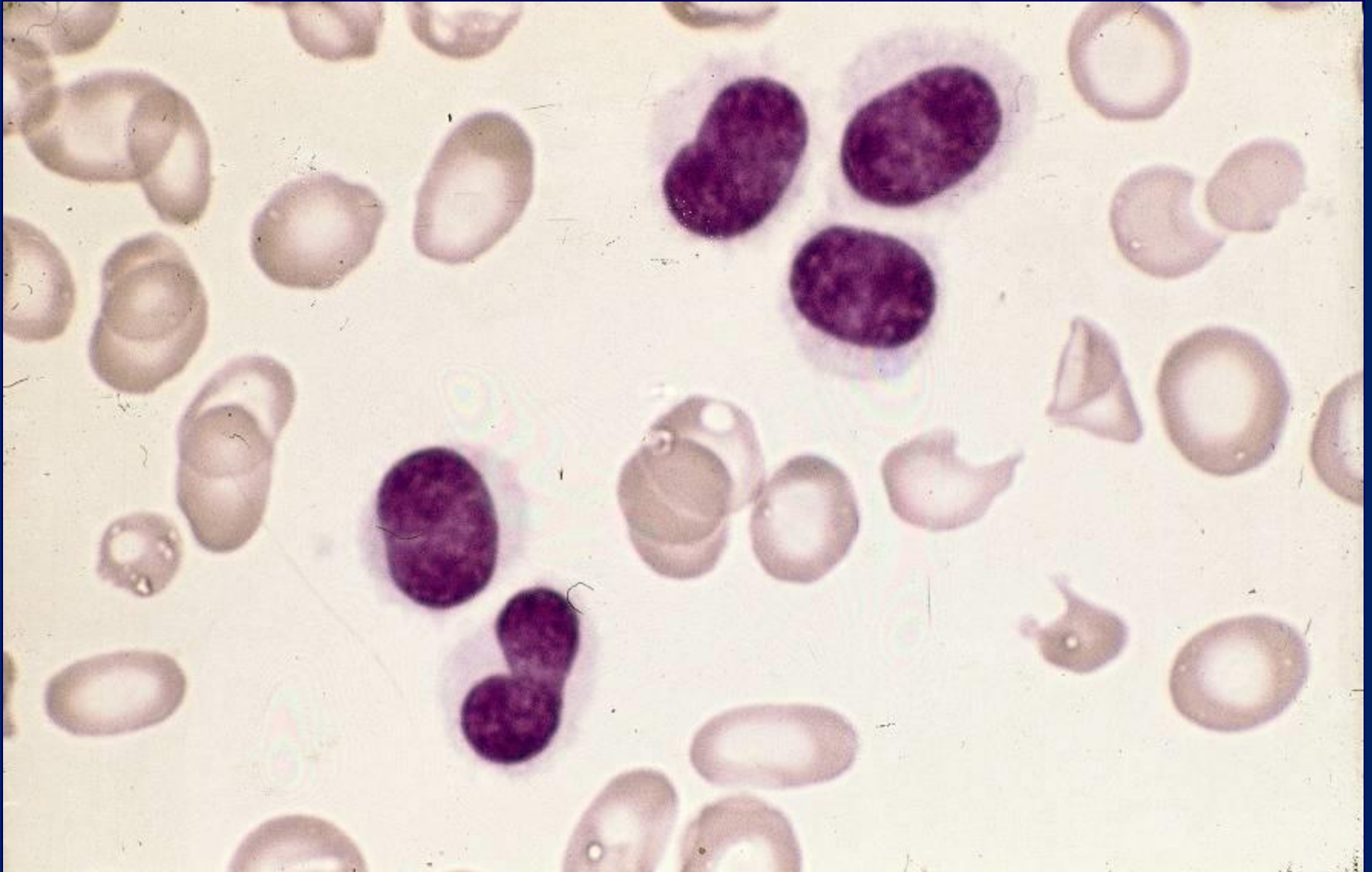




??



umcg



# Hairy cell leukemie

## Bloed

cytopenie, m.n. monocytopenie  
zeldzaam: circulerende hairy cells.

## Beenmerg cytologie

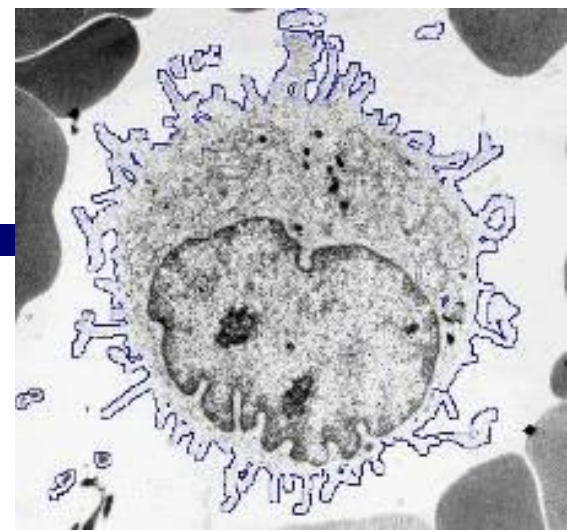
vaak 'dry tap'  
altijd biopsie verkrijgen  
aspect: grote lymfoïde cellen met ovale kern, fijn chromatine,  
vaal, ruim cytoplasma met harige uitlopers.

## Immunofenotype

pan B (CD19, CD20, sterk slg), CD25, CD11c, **CD103**

## Genetica

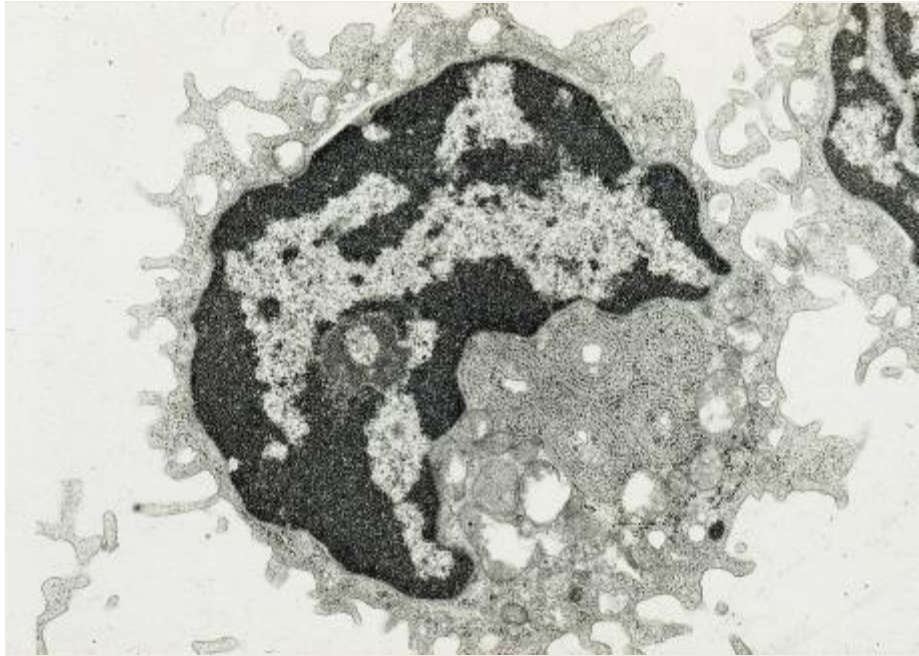
*BRAF* V600E mutation



# Hairy cell morfologie



umcg

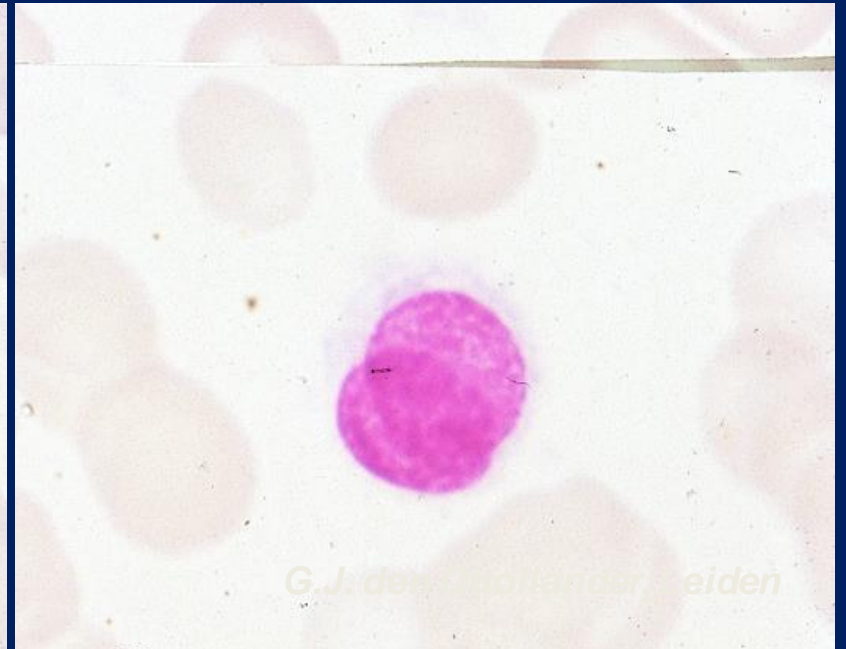
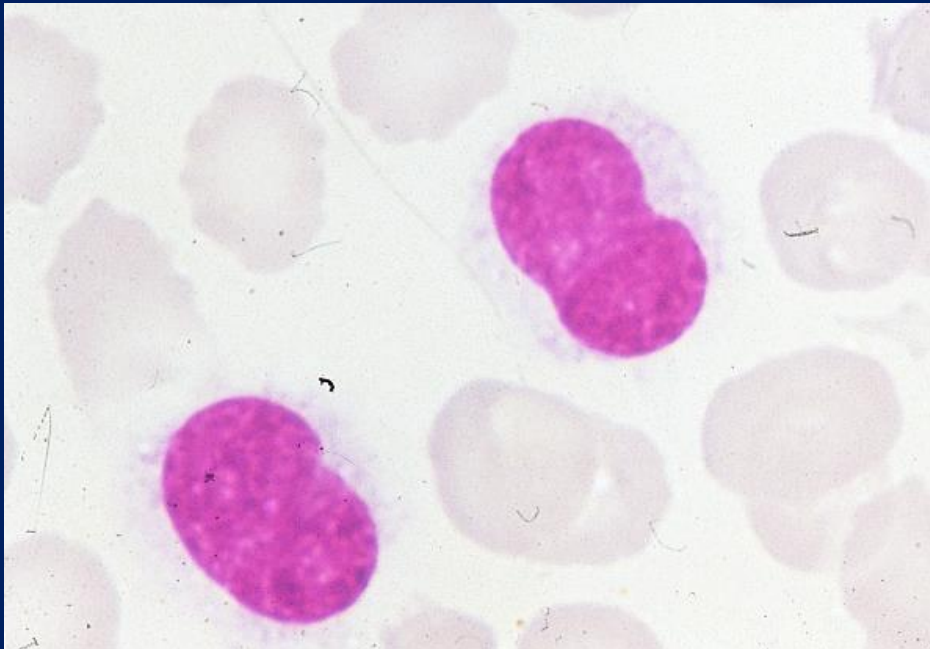
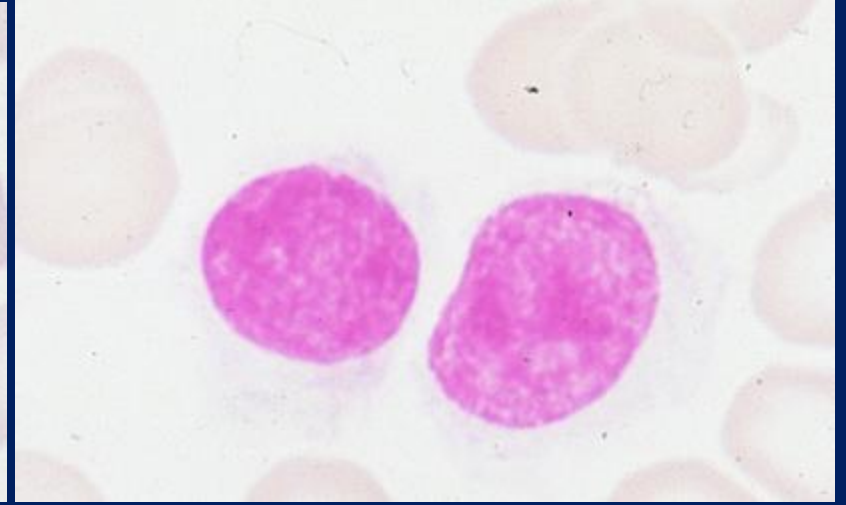
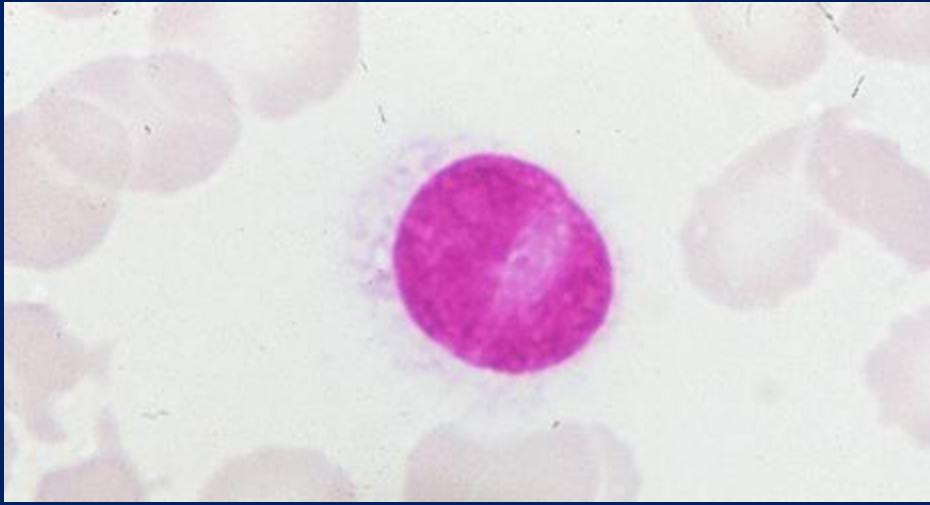


***Dr. P. Brederoo, Dept. EM,  
Leiden University***

# Hairy cell morfologie



umcg



G.J. de Winter, Leiden

# Immunofenotype van HCL



Markers	chronische B-cel leukemieën				leukemisch B-NHL		
	B-CLL	B-PLL	HCL	HCLv	SLVL	MCL	FCL
Smlg-expressie	++ <sup>w</sup>	++ <sup>s</sup>	++	++	++	++	++
Cylg-expressie	±	±	-	-	±	-	-
IgH-isotype	μ,μδ,δ	μ,μδ	μ,μδ,γ,α	γ	μ,μδ,γ	μ,μδ <sub>w</sub>	μ,μδ,γ
CD19	++	++	++	++	++	++	++
CD20	++ <sup>w</sup>	++	++ <sup>s</sup>	++	++	++ <sup>s</sup>	++
CD21	+	±	±	—	±	±	±
CD22	+ <sup>w</sup>	++ <sup>s</sup>	++ <sup>s</sup>	++	++ <sup>s</sup>	+	++
CD23	++	—	—	±	±	—	±
(CD24)	++	++	± <sup>p</sup>	—	++	++	++
cyCD79	++	++	++	++	++	++	++
CD5	++	±	—	—	±	++	±
CD10	—	±	±	—	±	—	+ <sup>w</sup>
CD11c	+	—	++	+	+	—	—
CD25	±	—	++	—	±	—	—
<b>CD103</b>	—	—	<u>++</u>	+	±	—	—
(FMC7)	±	++ <sup>s</sup>	++	++	++	+	++
CD138	-	-	-	-	-	-	-

# HCL vs HCLv (milt B-cel lymfoom/leukemie met prominente nucleoli)

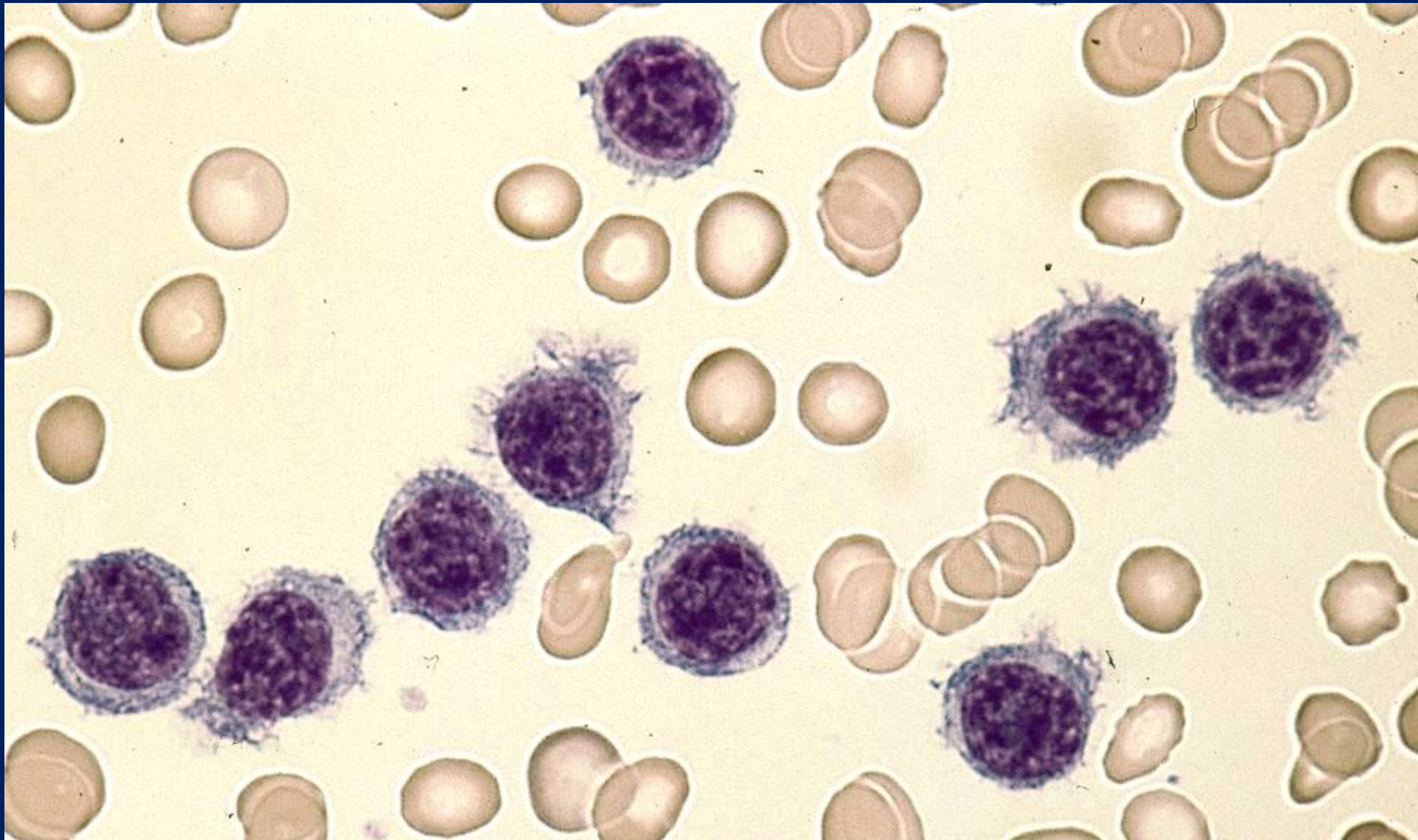


Markers	chronische B-cel leukemieën				leukemisch B-NHL		
	B-CLL	B-PLL	HCL	HCLv	SLVL	MCL	FCL
Smlg-expressie	++ <sup>w</sup>	++ <sup>s</sup>	++	++	++	++	++
CyIg-expressie	±	±	-	-	±	-	-
IgH-isotype	μ,μδ,δ	μ,μδ	μ,μδ,γ,α	γ	μ,μδ,γ	μ,μδ <sup>w</sup>	μ,μδ,γ
CD19	++	++	++	++	++	++	++
CD20	++ <sup>w</sup>	++	++ <sup>s</sup>	++	++	++ <sup>s</sup>	++
CD21	+	±	±	—	±	±	±
CD22	+ <sup>w</sup>	++ <sup>s</sup>	++ <sup>s</sup>	++	++ <sup>s</sup>	+	++
CD23	++	—	—	±	±	—	±
(CD24)	++	++	± <sup>p</sup>	—	++	++	++
cyCD79	++	++	++	++	++	++	++
CD5	++	±	—	—	±	++	±
CD10	—	±	±	—	±	—	+ <sup>w</sup>
CD11c	+	—	<u>++</u>	<u>+</u>	+	—	—
CD25	±	—	<u>++</u>	<u>—</u>	±	—	—
CD103	—	—	<u>++</u>	<u>+</u>	±	—	—
(FMC7)	±	++ <sup>s</sup>	++	++	++	+	++
CD138	-	-	-	-	-	-	-

# Milt marginale zone lymfoom (SLZL)



umcg



# Splenic lymphoma with villous lymphocytes

## WHO: splenic marginal zone lymphoma



umcg

### Bloed

Middelgrote lymfocyten met karakteristieke villi

### Beenmerg cytologie

Idem. als bloed.

### Immunofenotype

pan B: CD19, CD20, sterke smIg (IgM/IgD),  
*geen* CD5, *geen* CD10, *geen* cyclin D1, *geen* CD103

### DD:

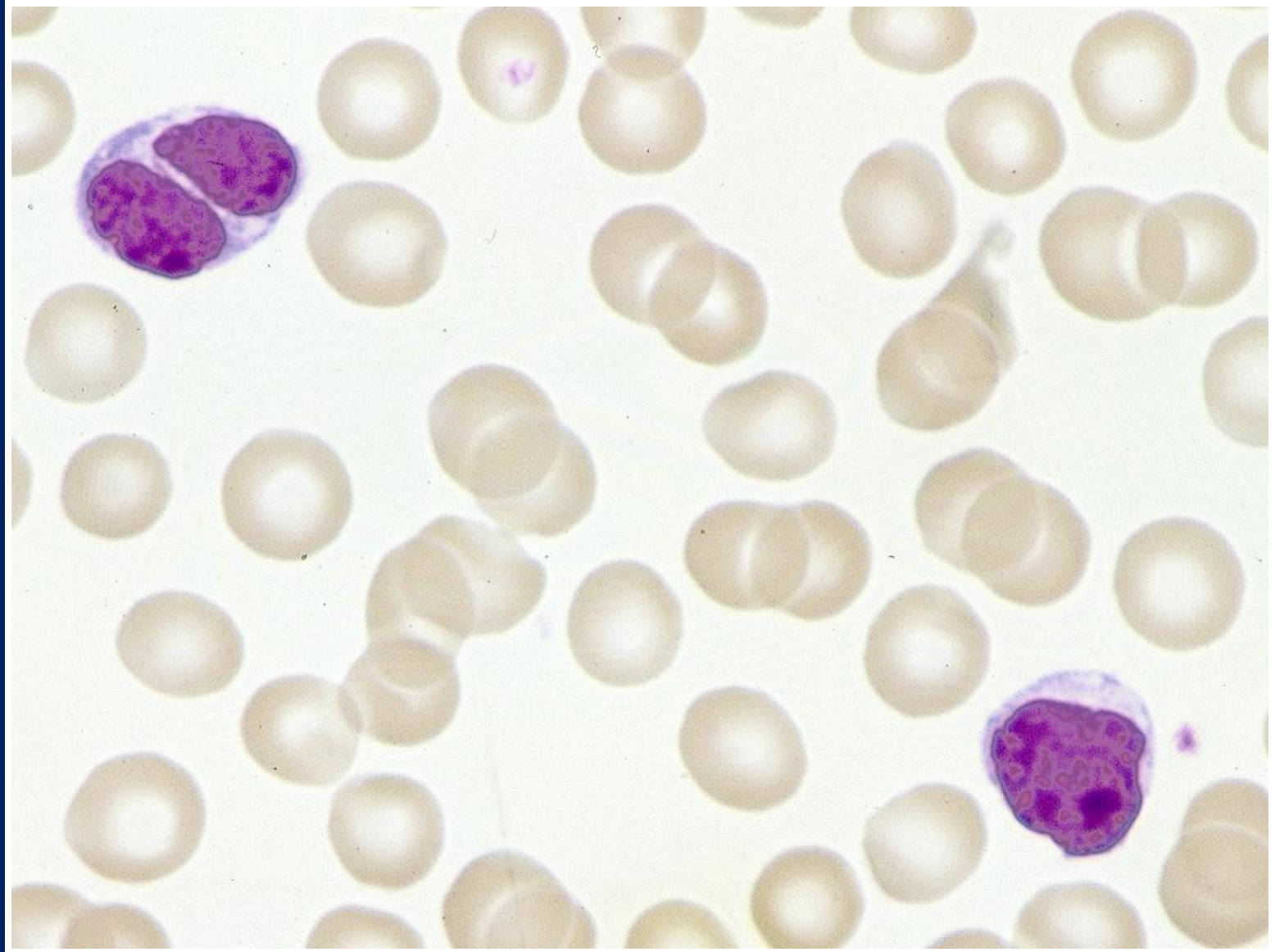
CLL, HCL, leukemisch rijpe B-NHL



??



umcg



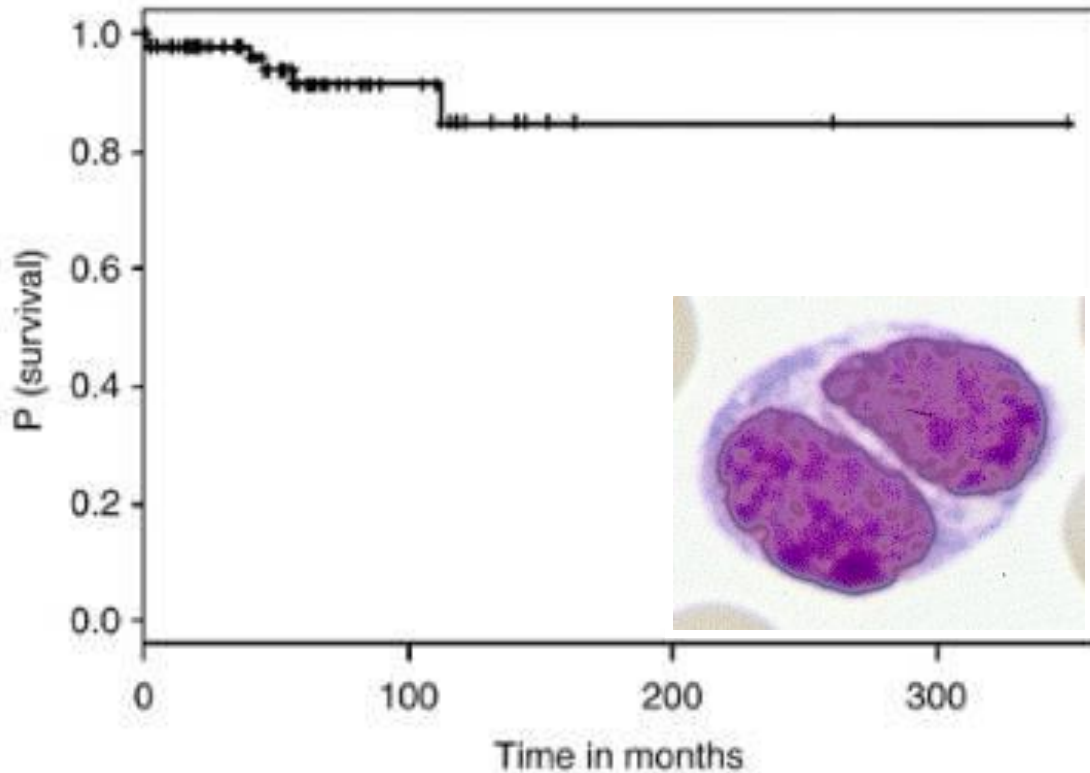
# (Persistent) polyclonal B-cell lymphocytosis with binucleated lymphocytes

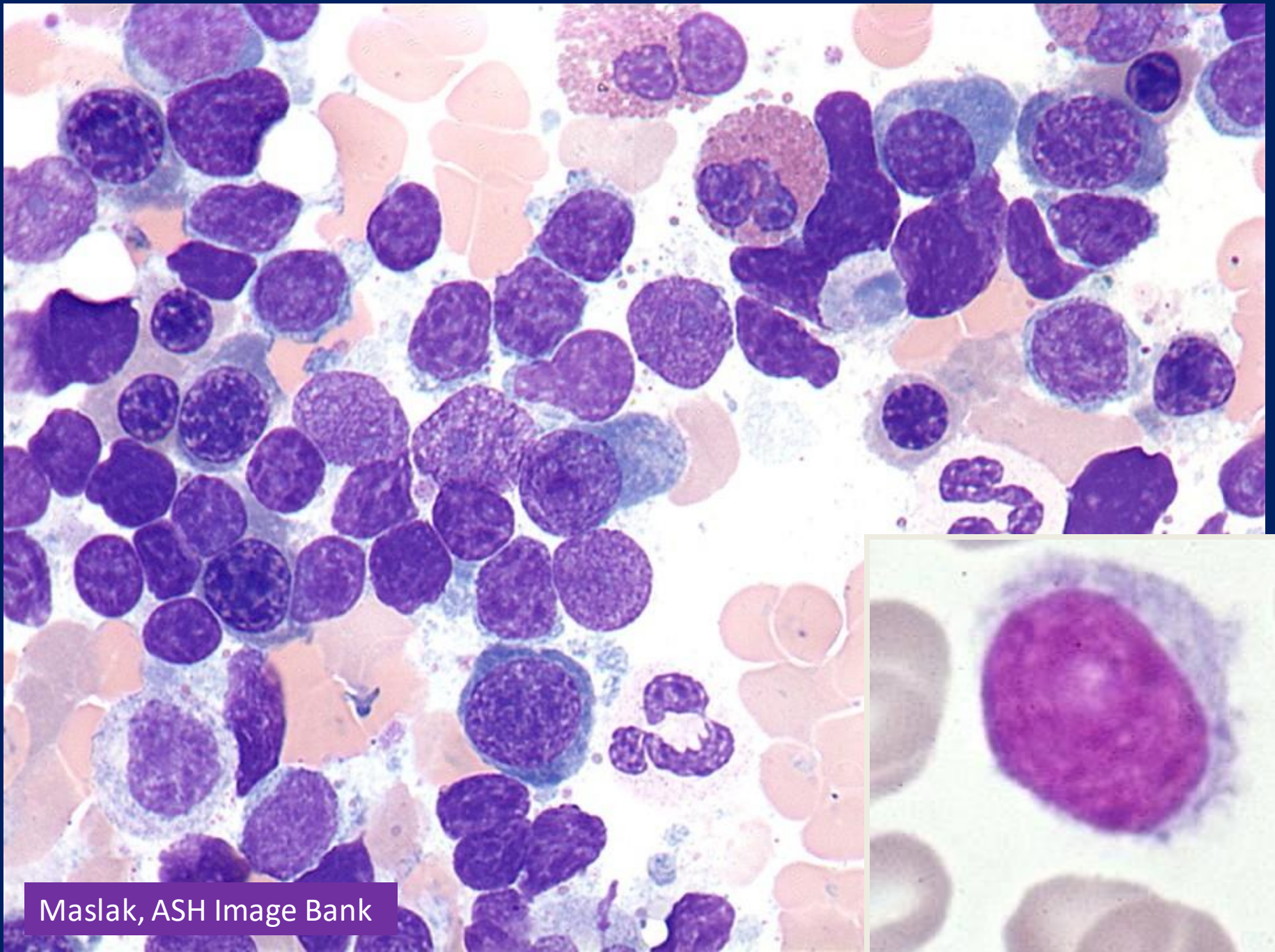


umcg

$N = 111$ , 82% vrouw, leeftijd: mediaan 40 (19-66), roken: 98%

Splenomegalie: 10%





Maslak, ASH Image Bank

# Lymfoplasmacytair lymfoom (M. Waldenström)



umcg

## **Bloed**

vaak normaal, of cytopeen, of circulerende lymfoide cellen.  
Agglutinatie van erythrocyten, M-proteïne.

## **Beenmerg cytologie**

Vaak grote aggregaten van lymfoide cellen in mengsel van CLL-achtige cellen, plasma cellen, mestcellen en cellen met plasmacytoïde differentiatie.

## **Immunofenotype**

pan B: CD19, CD20, sterke smIg, deels cylg

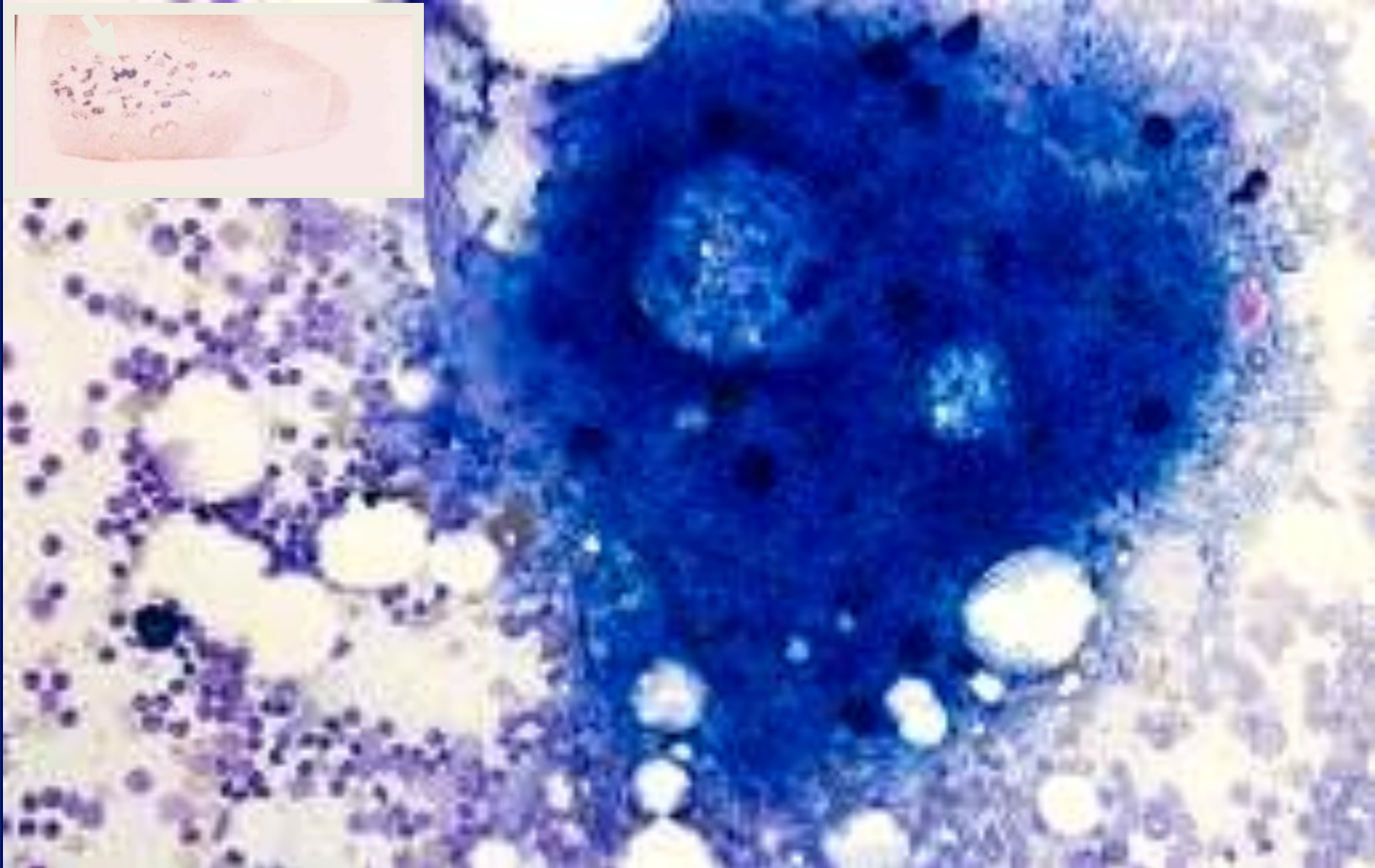
## **Genetica**

*MYD88* L265P mutatie

# Lymfoplasmacytair lymfoom (M. Waldenström)



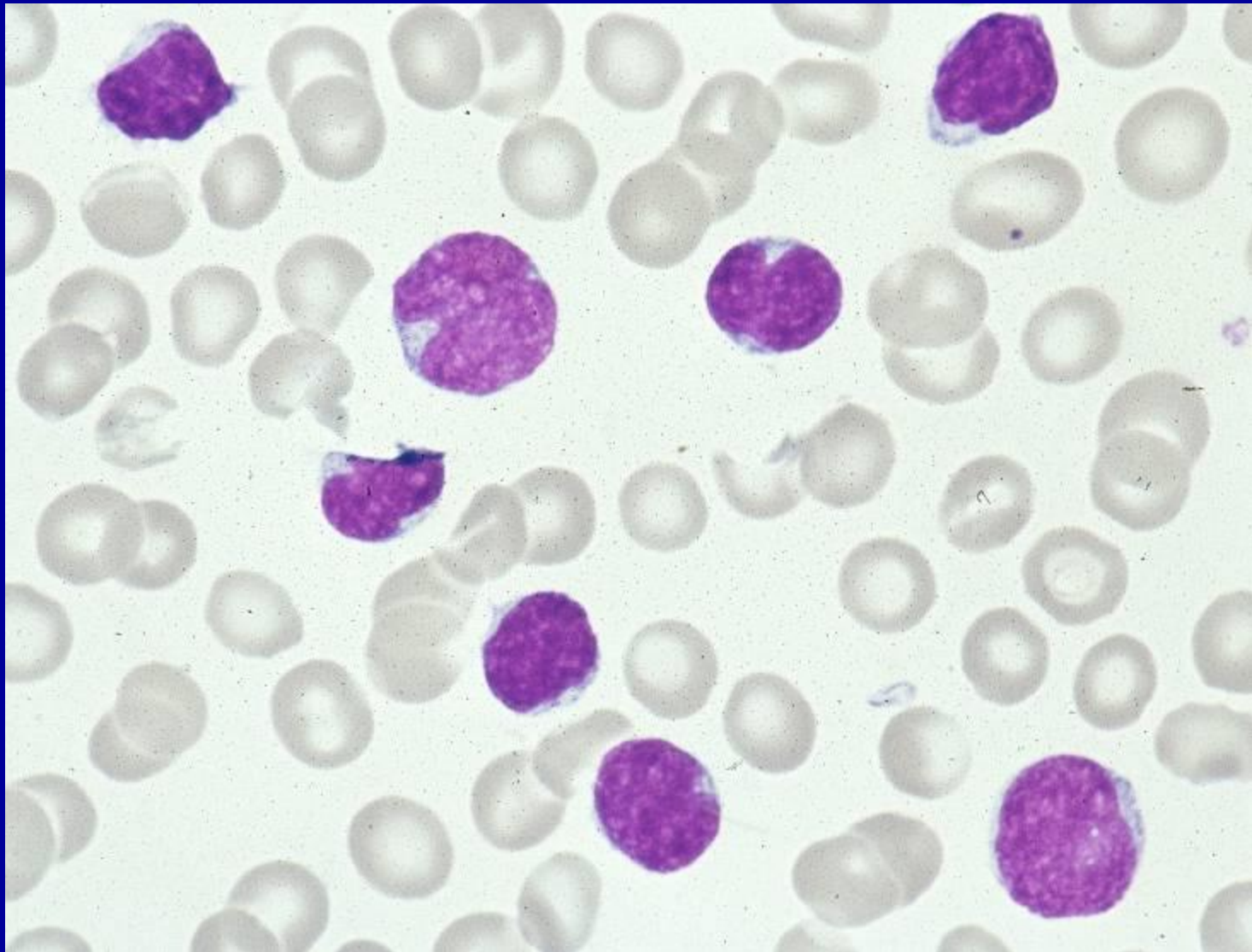
umcg



# Leukemisch folliculair lymfoom



umcg





## **Bloed**

meestal normaal leukocytengetal, soms wisselend percentage afwijkende lymfocyten, met gekliefde kern, wandstandige nucleoli

## **Beenmerg cytologie**

vaak normaal, terwijl het BIOPT dan positief is, tgv paratrabeculaire lokalisatie

## **Immunofenotype**

pan B: CD19, CD20, sterk smlg, CD10 (zwak)

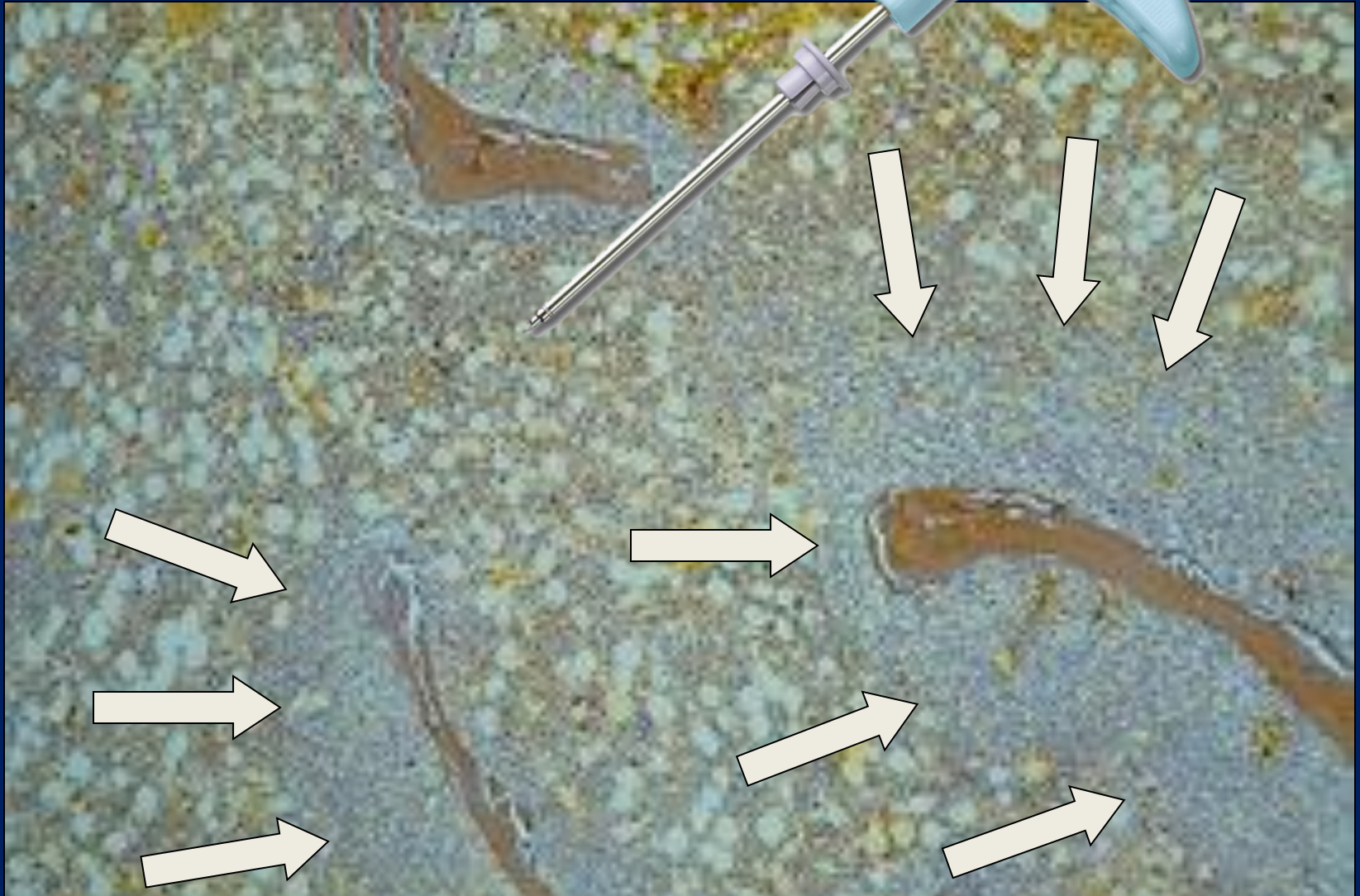
## **DD**

reactieve lymfocytose, andere NHL's

Aspiraaf is niet altijd representatief!



umcg





# Burkitt lymfoom/leukemie



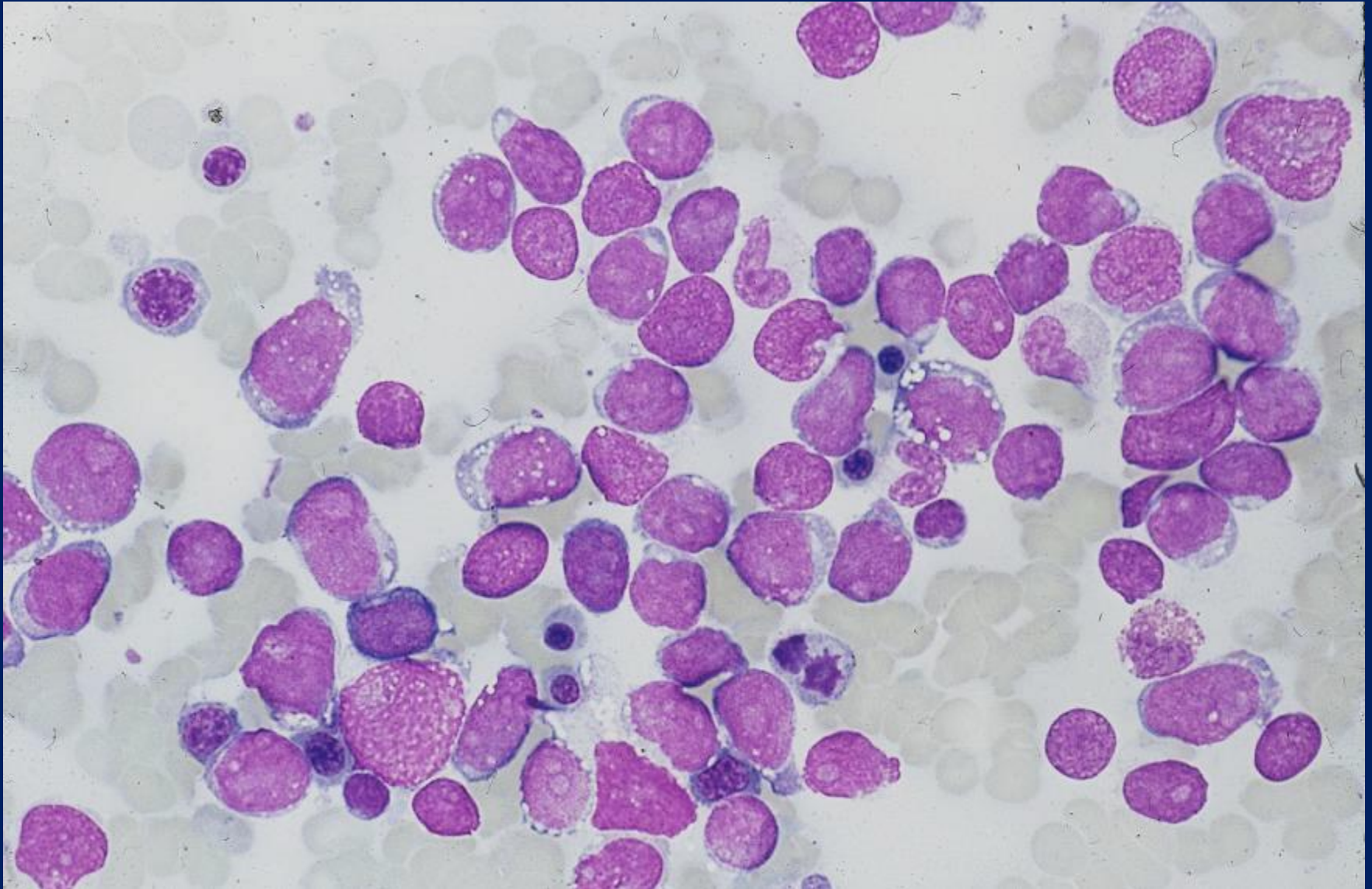
umcg



# BM met DLBCL infiltratie



umcg

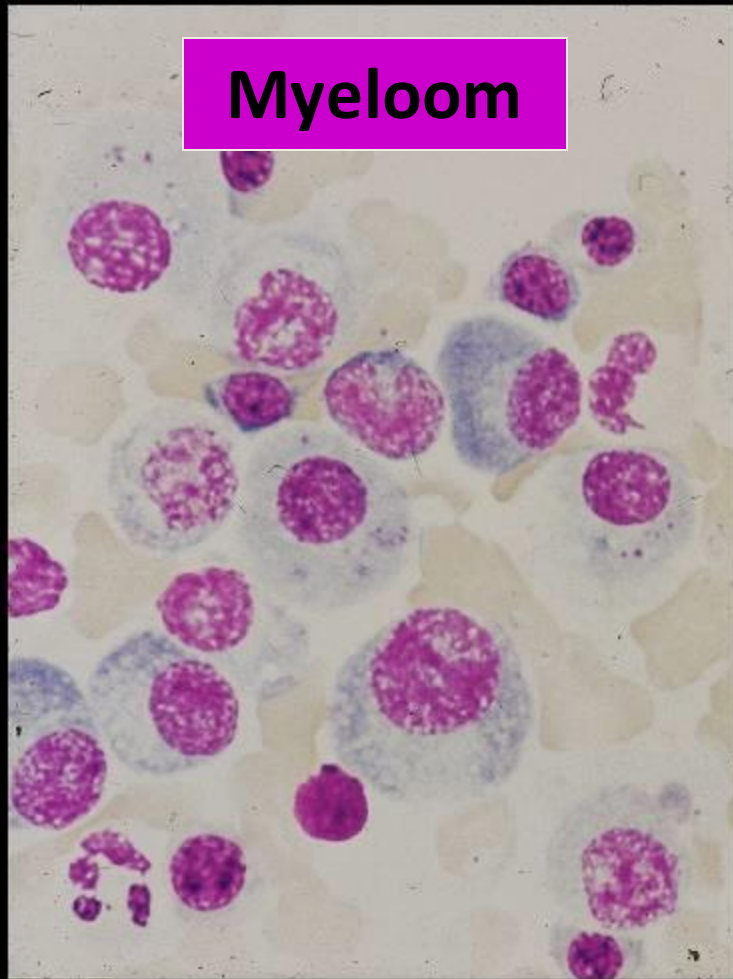


# Een toename van plasmacellen...

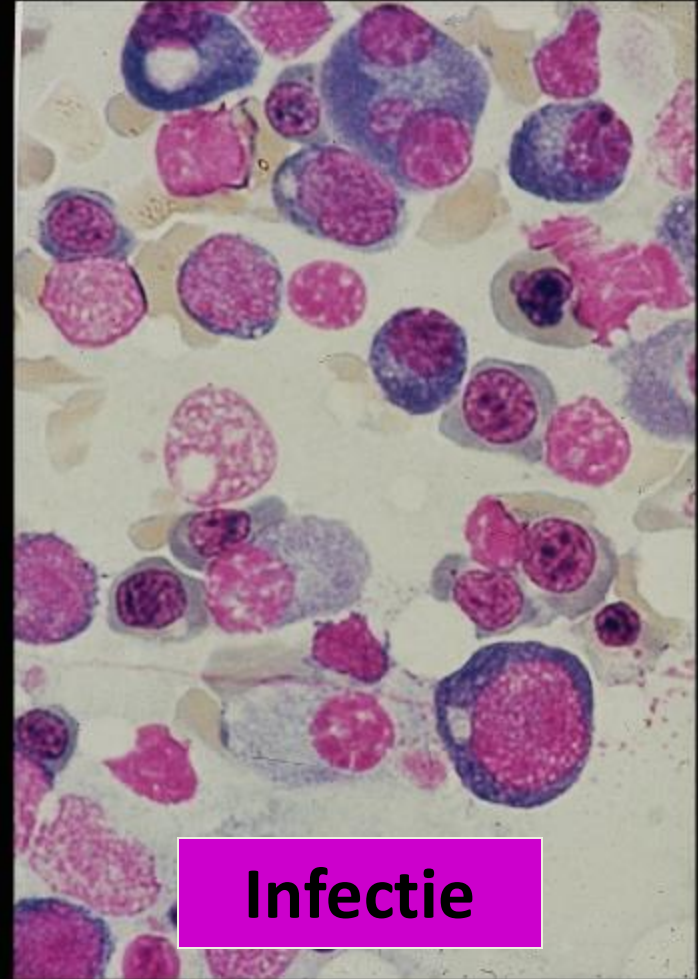


umcg

**Myeloom**



**Infectie**



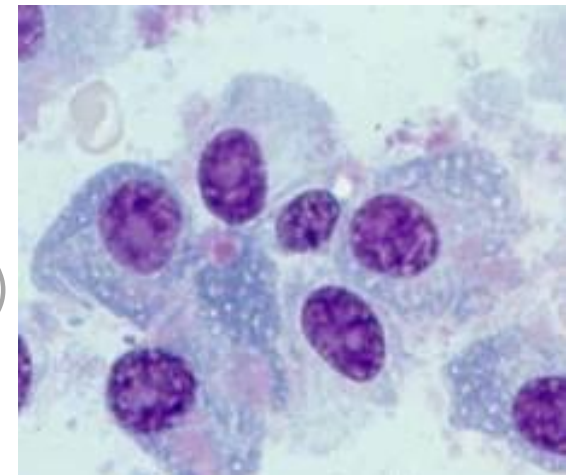
# Criteria Multipel Myeloom (2014)



umcg

	<u>M-protein</u>	<u>BM plasma cells</u>
MGUS (non-IgM, IgM, light chain)	<30 g/l	<10%
Smouldering myeloma	>30 g/l	10-60%
Multiple myeloma	(+)	>10%
“myeloma defining events”	-	
- CRAB		
- clonal plasma cells in BM >60%		
- FLC ratio (involved:uninvolved)		
- >1 focal lesions on MRI		

Solitary plasmacytoma (w/ minimal marrow involvement)  
POEMS syndrome  
Systemic AL amyloidosis



# Multipel myeloom (M. Kahler)



umcg

## Bloed

vaak normaal of cytopenie;  
agglutinatie van de erythrocyten

## Beenmerg cytologie

>10% plasma cellen (myeloom cellen)  
typische abnormaliteiten: pleiomorf,  
centrale kern, groter (of juist kleiner), nucleoli,  
Dutcher/Russell bodies, morula cellen, flame cellen







## Immunofenotypering

expressie van CD38, CD138, CD56 en CD45dim



# DD bij perifere lymfocytose



Figure 2	DIFFERENTIAL DIAGNOSIS		ANCILLARY TESTS
Small, round nuclei →			Flow cytometry CLL FISH panel FISH <i>CCND1/IGH</i>
Folded or cleaved nuclei →		T-cell lymphomas Pertussis*	Flow cytometry FISH <i>CCND1/IGH</i> , <i>BCL2</i> Tissue biopsy
Villous cytoplasm →		T-PLL LPL	Flow cytometry <i>BRAF</i>
Plasmacytoid →			Flow cytometry SPEP/UPEP <i>MYD88 L265P</i> Myeloma FISH panel
Prominent nucleoli →			Flow cytometry Cytogenetics
Large cells →			Flow cytometry FISH <i>MYC</i> <i>CCND1/IGH</i> <i>ALK</i>



Histopathologie essentieel in het stellen van de meeste B-cel lymfomen.

Het grote merendeel van de B-cel lymfatische beelden vereist flowcytometrie, en soms (lees: steeds vaker) ook moleculair en cytogenetisch onderzoek.

Flowcytometrie alléén kan valkuilen opleveren.

Klinisch beeld en morfologie kunnen richting geven aan de DD.

# Mature T/NK-cell neoplasms (2016 rev)



umcg

## **T-cell prolymphocytic leukemia**

## **T-cell large granular lymphocytic leukemia**

Chronic lymphoproliferative disorder of NK cells

Aggressive NK-cell leukemia

Systemic EBV1 T-cell lymphoma of childhood

Hydroa vacciniforme–like lymphoproliferative disorder

## **Adult T-cell leukemia/lymphoma**

Extranodal NK-/T-cell lymphoma, nasal type

Enteropathy-associated T-cell lymphoma

Monomorphic epitheliotropic intestinal T-cell lymphoma

Indolent T-cell lymphoproliferative disorder of the GI tract

Hepatosplenic T-cell lymphoma

Subcutaneous panniculitis-like T-cell lymphoma

## **Mycosis fungoides**

## **Sézary syndrome**

Primary cutaneous CD301 T-cell lymphoproliferative disorders

Lymphomatoid papulosis

Primary cutaneous anaplastic large cell lymphoma

Primary cutaneous gamma-delta T-cell lymphoma

Primary cutaneous CD81 aggressive epidermotropic cytotoxic T-cell lymphoma

Primary cutaneous acral CD81 T-cell lymphoma

Primary cutaneous CD41 small/medium T-cell lymphoproliferative disorder

Peripheral T-cell lymphoma, NOS

## **Angioimmunoblastic T-cell lymphoma**

Follicular T-cell lymphoma

Nodal peripheral T-cell lymphoma with TFH phenotype

## **Anaplastic large-cell lymphoma, ALK1**

Anaplastic large-cell lymphoma, ALK2

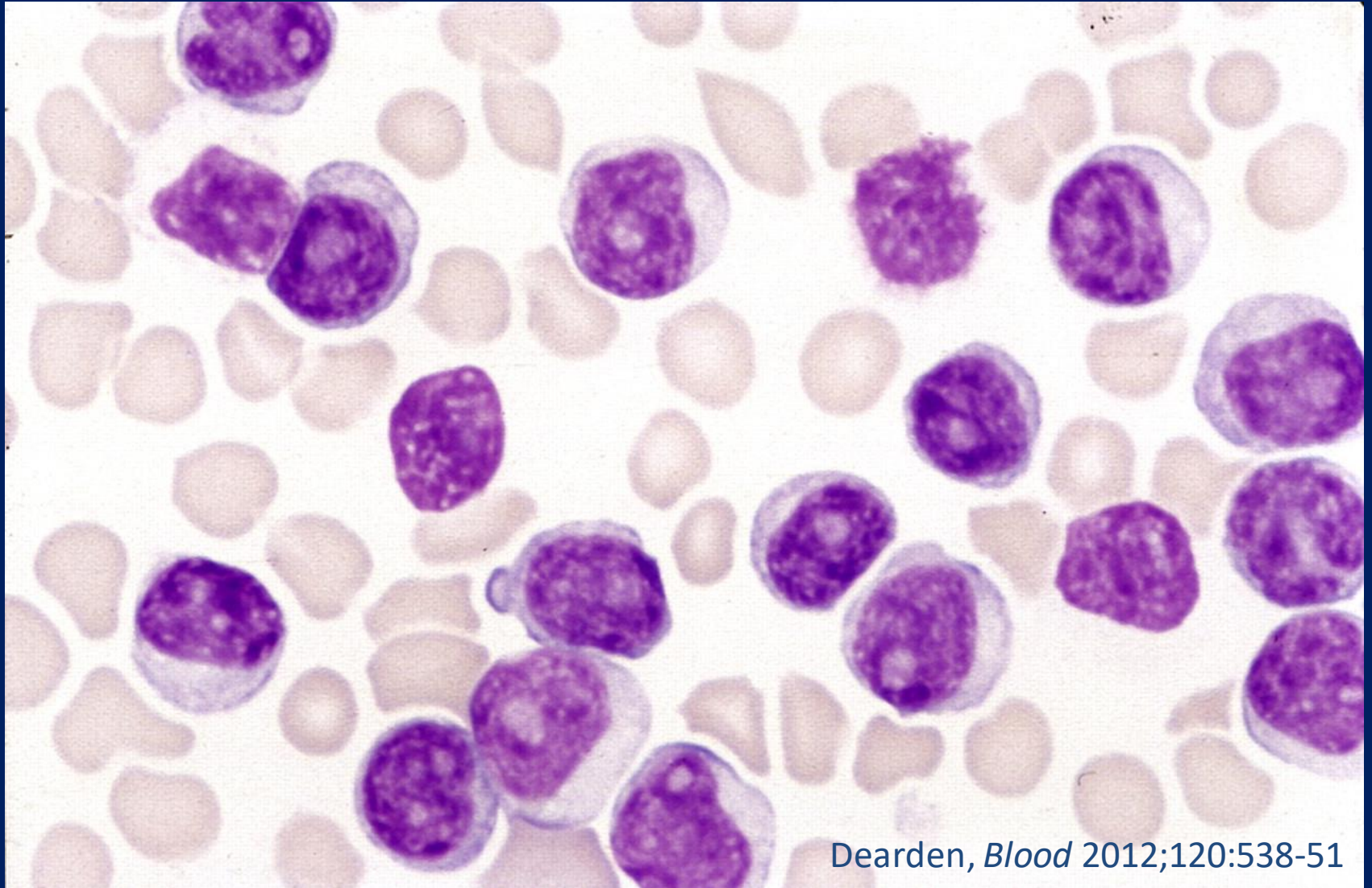
Breast implant–associated anaplastic large-cell lymphoma



??



umcg



Dearden, *Blood* 2012;120:538-51



## Bloed

Vaak zeer hoog leukocytengetal ( $>100 \times 10^9/l$ )

Aspect: **grote** cellen, ruim cytoplasma, ronde centrale celkern, **prominente nucleolus**.

## Beenmerg cytologie

Idem als bloed, vaak ook infiltratie LNN, huid, slijmvliezen

## Immunofenotype

Meestal CD4, soms ook CD8; CD52 **pos**; TdT **neg**

## Cytogenetica

Chromosoom 14 (TCR alfa/delta, TCL-1) afwijkingen

## DD

T-ALL (TdT<sup>+</sup>), T-LGL, ATLL

??



umcg



Jain & Prabhash, *Blood* 2010;115:1668



## Bloed

Opvallend gelobde kernen (“flower cells”)

## Beenmerg cytologie

Idem als bloed, vaak ook infiltratie LNN, weefsels

## Immunofenotype

**Pos** voor CD4, CD25 sterk; meestal ook CD30 **pos** en CD7 **neg**

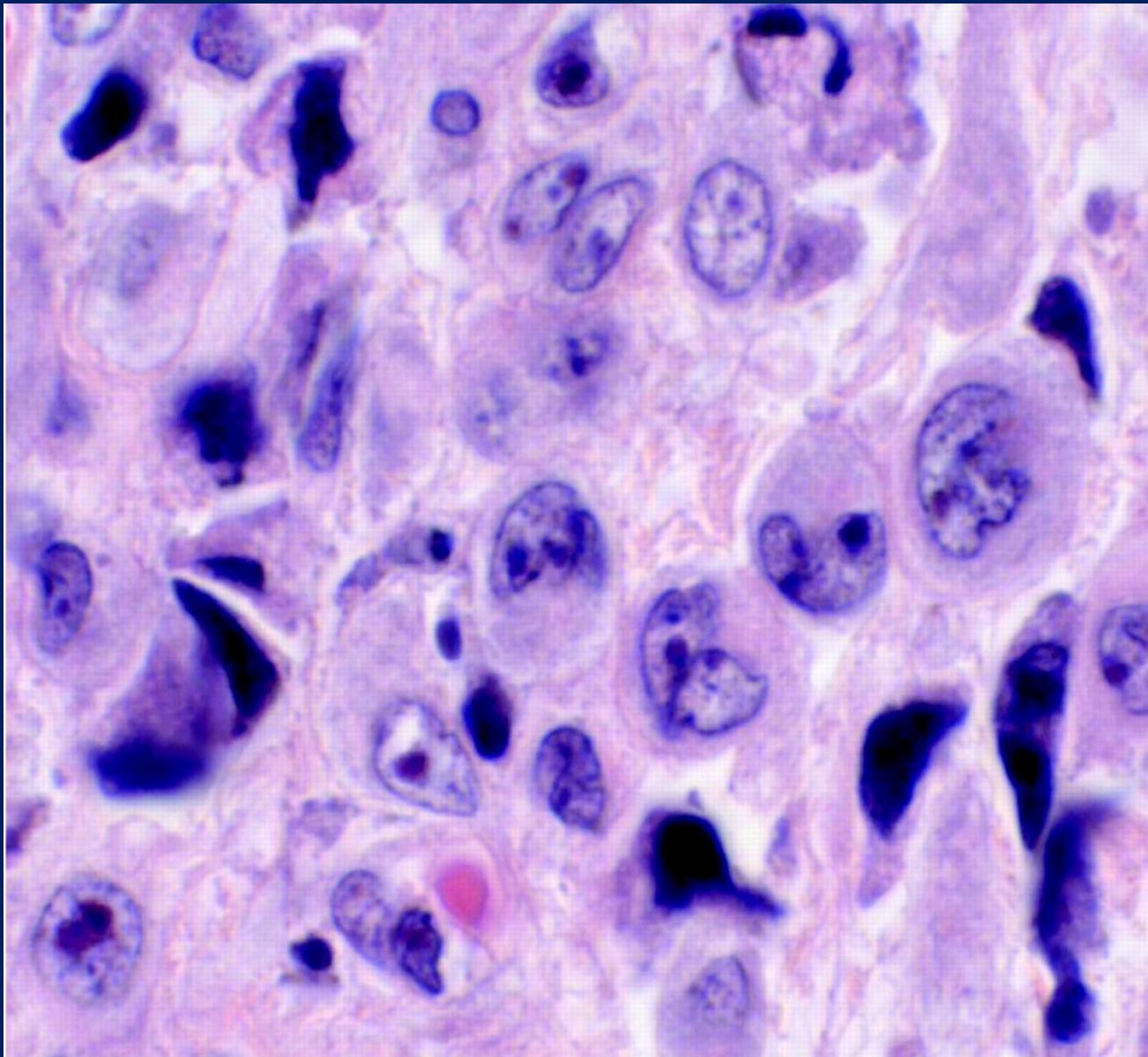
## Infectie

HTLV-1 virusinfectie

??



umcg





## **Bloed**

Wisselende morfologie; meestal 'hallmark cells'

## **Beenmerg cytologie**

ALK-pos: soms beperkt aanwezig.

ALK-neg: zeldzaam.

## **Immunofenotype**

Meestal CD4, soms ook CD8; TdT **neg**

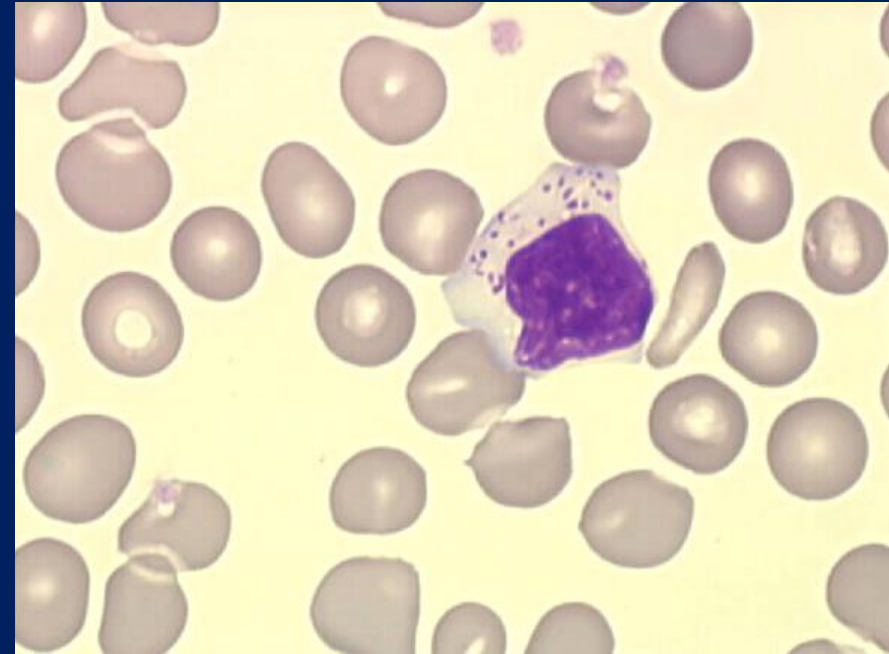
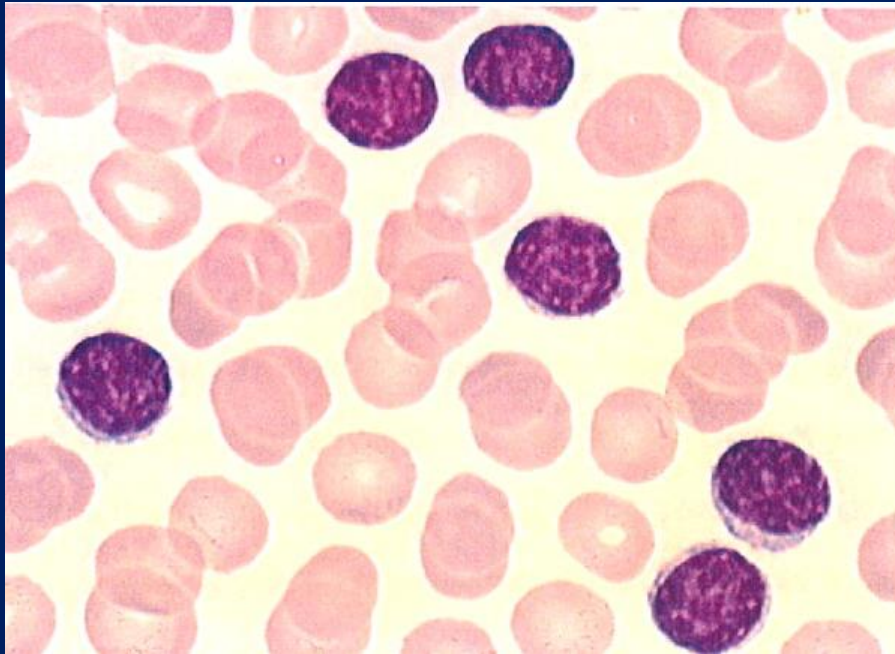
## **Cytogenetica**

ALK-pos: t(2;5)

??



umcg





## Bloed

Middelgrote / grote lymfatische cellen met ruim cytoplasma met azurofiele korrels.

## Beenmerg cytologie

Soms beperkt.

## Immunofenotype

T-cel: CD2+CD3+ CD4<sup>-</sup>CD8<sup>+</sup> CD5/CD7 vaak **neg**

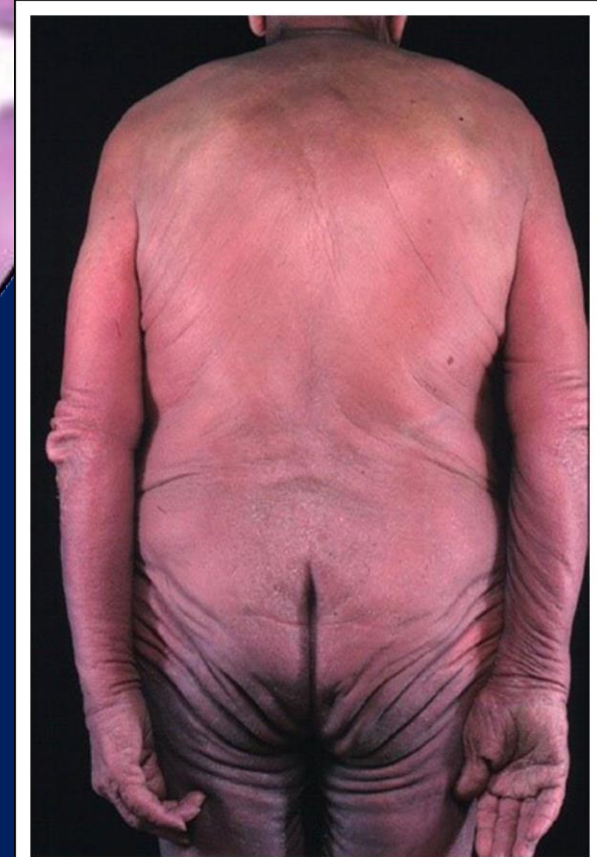
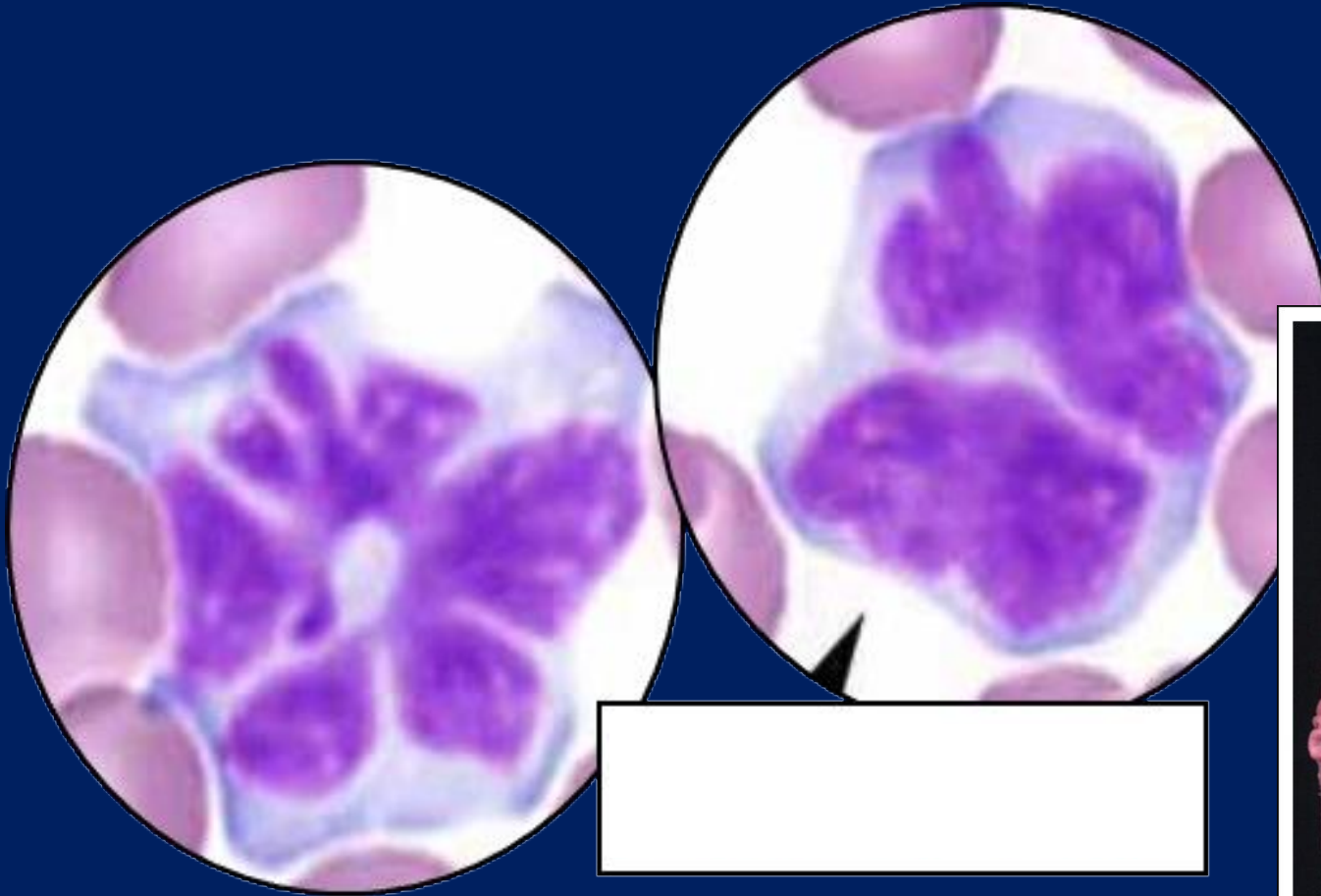
NK cel: CD2<sup>+</sup>CD3<sup>+</sup>CD8<sup>+/-</sup> CD16<sup>+</sup> CD56/CD57 soms



??



umcg





## T-cellymfoom van de huid

Laat stadium van mycosis fungoides / lymfadenopathie

## Bloed / huid / (beenmerg)

Cerebriforme nuclei, soms met “scherpe” vouw

## Immunofenotype

CD3, CD4+, meestal CD8 **neg**

## Cytogenetica

Geen specifieke afwijkingen